



تلفیق داده‌های زمین‌شناسی، کانی‌سازی، ژئوشیمی و مغناطیس‌سنگی در کانسار آهن آپاتیت‌دار ده‌زمان، استان خراسان رضوی

حسین حاجی میرزا جان^۱، آزاده ملکزاده شفارودی^{۲*}، محمد رضا حیدریان شهری^۱ و سید مسعود همام^۱

(۱) گروه زمین‌شناسی، دانشکده علوم، دانشگاه فردوسی مشهد، مشهد، ایران

(۲) گروه پژوهشی اکتشاف ذخایر معدنی شرق ایران، دانشگاه فردوسی مشهد، مشهد، ایران

دریافت مقاله: ۱۳۹۵/۱۰/۲۷، پذیرش: ۱۳۹۶/۰۲/۰۲

چکیده

کانسار آهن ده‌زمان در جنوب‌غربی استان خراسان رضوی و در شمال شرقی زون زمین‌ساختی کاشمر- کرمان واقع شده است. زمین‌شناسی منطقه شامل واحدهای رسوبی- آتشفسانی دگرگون‌شده و توده‌های نفوذی گرانیتی به سن پر کامبرین بالایی- کامبرین زیرین است. کانه‌زایی آهن آپاتیت‌دار به شکل رگه‌های مگنتیت ± اسپکیولاریت در بخش مرکزی و مگنتیت- اسپکیولاریت در بخش شرقی در سنگ میزبان متاریولیت تا متاریوداسیت تشکیل شده است. کانی‌های اولیه شامل مگنتیت، اسپکیولاریت، آپاتیت و جزیی کالکوپیریت و کانی‌های ثانویه ملاکیت و هماتیت است. کلریتی شدن، کربناتی شدن، سیلیسی شدن و بیوتیتی شدن مهمترین آلتراسیون‌های همراه با رگه‌ها هستند. عیار آهن بین ۵۶ تا ۶۷ درصد و مقدار FeO بین ۰/۲۹ تا ۱۳/۰ درصد متغیر است. مقدار FeO رابطه معکوس با اسپکیولاریت در کانسنگ دارد. همچنین مقادیر قابل توجه عناصر نادر خاکی به‌ویژه عناصر LREE در کانسنگ دیده می‌شود؛ به طوری که مقدار کل عناصر نادر خاکی اغلب بیش از ۱۰۰ گرم در تن بوده و به ۴۸۲۷ گرم در تن نیز می‌رسد. سنگ میزبان، کانی‌شناسی، ساخت و بافت، آلتراسیون و ژئوشیمی این بخش از کانسار ده‌زمان شبیه به ذخایر آهن نوع کاپروناست.

اختلاف قابل توجه پذیرفتاری مغناطیسی رگه‌های آهن آپاتیت‌دار ($SI = 10^{-5} \times 10^{-3} \times 10^{-5}$) و سنگ میزبان آتشفسانی (صفر تا $SI = 10^{-5}$) باعث شده است تا روش مغناطیس‌سنگی و تلفیق آن با داده‌های زمین‌شناسی و کانی‌سازی بهترین روش برای اکتشاف آهن و عناصر نادر خاکی همراه با آن در منطقه باشد. تغییرات شدت کل میدان مغناطیسی در بخش مرکزی و شرقی به ترتیب ۸۹۸۱ گاما و ۱۵۵۹۲ گاما است. نقشه RTP قسمت شرقی نشان‌دهنده وجود ناهنجاری با روند تقریباً شمالی- جنوبی است که گسترش عرضی آن در عمق به بیش از ۲۰ متر می‌رسد. نقشه‌های فراسو می‌رساند که عمق منبع ایجاد کننده ناهنجاری (کانی‌سازی مگنتیت) تا بیش از ۵۰ متر ادامه دارد. در مرکز این زون به دلیل افزایش میزان اسپکیولاریت در رگه‌ها، ناهنجاری مغناطیسی پاسخ مناسبی ندارد. بر پایه ناهنجاری‌های مغناطیسی، زمین‌شناسی، کانی‌سازی و شب رگه‌ها در سطح تعداد ۴ نقطه حفاری برای بخش شرقی پیشنهاد شد. ناهنجاری مغناطیسی در پنجره مرکزی دارای روند شرقی- غربی با عرض کم (حدود ۲۵ متر) است و انتباط خوبی با رخمنون‌های سطحی دارد. عمق کانه‌زایی بخش شرقی این زون تا بیش از ۵۰ متر ادامه دارد. حرکت گسل‌های راست‌گرد در قسمت میانی این منطقه باعث نبود کانه‌زایی و نبود پیوستگی ناهنجاری مغناطیسی شده است. بر پایه ناهنجاری‌های مغناطیسی و شب رگه‌ها در سطح، دو نقطه حفاری برای بخش مرکزی پیشنهاد شد.

واژه‌های کلیدی: متاریولیت تا متاریوداسیت، مگنتیت ± اسپکیولاریت، عناصر نادر خاکی، مغناطیس‌سنگی، ده‌زمان

مقدمة

مغناطیس سنجی بهترین روش غیرمستقیم برای اکتشاف این نوع عناصر است. هدف از این پژوهش، تلفیق داده‌های زمین‌شناسی، کانی‌سازی، ژئوشیمی و مغناطیس سنجی برای اکتشاف بخش‌های پنهان بالقوه کانی‌سازی، عمق و گسترش کانی‌سازی مگنتیت- اسپکیولاریت آپاتیت دار دهzman و در نهایت تعیین نقاط حفاری است. بررسی‌های این کانسار می‌تواند به عنوان الگویی برای اکتشاف کانسارهای مشابه پیشنهاد شود.

روش مطالعه

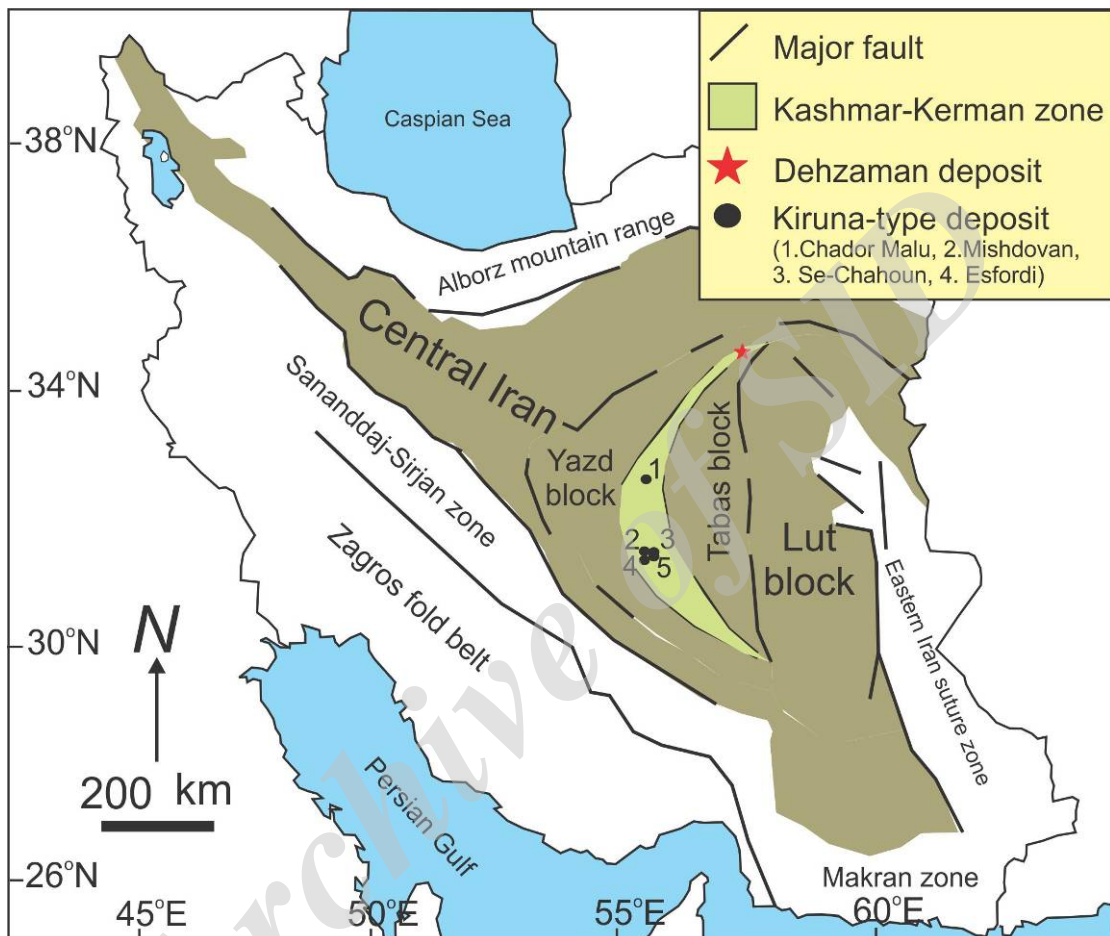
برای دست‌یابی به اهداف مورد نظر این پژوهش، پس از بررسی‌های صحرایی و نمونه‌برداری، تعداد ۶۵ مقطع نازک و ۳۰ بلوک صیقلی برای بررسی‌های پتروگرافی، آلتراسیون و کانی‌سازی تهیه و مطالعه شدند. سپس بر پایه برداشت‌های صحرایی و بررسی‌های آزمایشگاهی، نقشه زمین‌شناسی- کانی‌سازی با مقیاس ۱:۱۰۰۰ در نرم افزار ArcGIS تهیه شد. تعداد ۷ نمونه از زون کانی‌سازی مگنتیت- اسپکیولاریت آپاتیت دار برای تعیین عیار آهن به روش شیمی تر به شرکت تجزیه کنندگان کانسارهای بلورین آمتیس شرق ارسال شد. همچنین ۹ نمونه از کانسنگ پس از خردایش و نرمایش برای آنالیز عناصر نادر خاکی و برخی عناصر فرعی به روش ICP- MS به آزمایشگاه ACME کانادا فرستاده شد. روش آماده سازی ذوب قلیایی با کد LF100 بوده است. در این روش ۰/۱ گرم از نمونه در لیتیوم متاپورات/ ترابورات ذوب و در اسید سیتریک هضم می‌شود.

برای برداشت‌های مغناطیس سنجی و به دست آوردن اطمینان از کارآیی این روش در منطقه، ابتدا اندازه گیری پذیرفتاری مغناطیس بیش از ۱۰۰ نمونه از کانسنگ و واحد سنگ آتشفسانی میزان با دستگاه GMS2 سیترکس ساخت کشور کانادا و متعلق به دانشگاه فردوسی مشهد انجام شد. سپس اندازه گیری شدت کل میدان مغناطیسی در ۲۲۲۳ نقطه و در قالب ۵۱ پروفیل در دو منطقه مرکزی و شرقی طراحی شد. برداشت‌ها توسط دستگاه مگنتومتر مدل Geometrics G856

معدن آهن دهzman در ۳۰ کیلومتری جنوب‌غربی بردسکن در استان خراسان رضوی و در محدوده طول‌های جغرافیایی $۴۶^{\circ} ۵۰' - ۵۷^{\circ} ۴۸' E$ و عرض‌های جغرافیایی $۳۴^{\circ} ۵۷' - ۳۵^{\circ} ۵۷' N$ قرار دارد. این معدن از نظر ساختاری در شمال شرق کمربند زمین‌ساختی کاشمر- کرمان قرار دارد (شکل ۱). کانه‌زایی آهن در کانسار دهzman به دو شکل کانسنگ هماتیتی و بخش مگنتیت- اسپکیولاریت آپاتیت دار دیده می‌شود. کانه‌زایی هماتیت از نوع آهن رسوبی و نوع راپتان معروفی شده است (Imanpour et al., 2017). بر اساس بررسی‌های ساخت و بافت، کانی‌ساختی، آلتراسیون و ژئوشیمی Hajimirzajan et al., 2017a; Hajimirzajan et al., 2017b) بخش مگنتیت- اسپکیولاریت آپاتیت دار کانسار دهzman شباهت زیادی به ذخایر آهن نوع کایروندا دارد. بهره‌برداری از این معدن از گذشته تاکنون معطوف به بخش هماتیتی بوده؛ به طوری که تعداد زیادی توغل در آن حفر شده و به شکل زیرزمینی در حال برداشت است؛ اما به کانسنگ آهن آپاتیت دار دهzman توجه خاصی نشده است. رخمنون کم کانی‌سازی در سطح زمین، نبود رخمنون سنگ منشأ، گسترش و نوع آلتراسیون‌ها و نیز ریزدانه بودن یا ادخال بودن آپاتیت‌ها بیانگر آن است که هم اکنون در بخش‌های بالایی کانی‌سازی نوع کایروندا هستیم و برای دست‌یابی به اطلاعات بیشتر و جامعتر به حفاری نیاز است (Hajimirzajan et al., 2017 b). از طرفی این منطقه بسیار نکوتینزه بوده و فعالیت گسل‌ها موجب جابه‌جایی‌های متعدد رگه‌های کانی‌سازی شده است. از آن‌جایی که مگنتیت مهمترین و فراوانترین کانی موجود در این بخش از کانی‌سازی دهzman است و سنگ میزان آن یک واحد آتشفسانی آتشده با میزان پذیرفتاری مغناطیسی کم است؛ روش مغناطیس سنجی بهترین روش برای تعیین موقعیت، گسترش و عمق کانی‌سازی محسوب می‌شود و بر پایه آن می‌توان نقاط مناسب حفاری را پیدا کرد. علاوه بر آن به دلیل بالابودن عناصر نادر خاکی در این نوع ذخایر، روش

تهیه شدند. سرانجام با تلفیق داده‌های زمین‌شناسی، کانی‌سازی و مغناطیس‌سنگی، تفسیرها و تحلیل‌های لازم انجام شد.

متعلق به دانشگاه فردوسی مشهد انجام شد. پس از اعمال تصحیحات لازم، نقشه‌های RTP، TMI، فراسو، گرادیان قائم و سیگنال تحلیلی به کمک نرم‌افزار Geosoft Oasismontaj



شکل ۱. موقعیت جغرافیایی کانسار آهن دهzman در شمال شرقی ایران و زون زمین‌ساختی کاشمر- کرمان. موقعیت کانسارهای بزرگ نوع کاپرونا در مرکز این زون نشان داده شده است.

Fig. 1. Location of Dehzaman iron deposit in northeast of Iran and Kashmar-Kerman Tectonic Zone. Location of large Kiruna-type deposits is shown in central of this zone.

جنوبی در قسمت شمال دارای انحصار در جهت شمال شرق است و در جنوب به سمت جنوب شرق میل دارد (شکل ۱) (Ramezani and Tucker, 2003). وجود تعداد زیادی اندیس و معدن آهن در این کمربند مانند چغارات، چادرملو، میشدوان، سه چاهون، ناریگان، ریاط پشت‌بادام، جلال‌آباد، لکه‌سیاه، آنومالی شمالی و اسفوردی موجب شده است تا این

زمین‌شناسی

معدن آهن دهzman از نظر ساختاری در قسمت شمال شرقی کمربند زمین‌ساختی کاشمر- کرمان یا همان زون پشت بادام در خرد قاره ایران مرکزی قرار دارد. کمربند کمانی و ساختاری کاشمر- کرمان با طول حدود ۶۰۰ کیلومتر با مرزهای گسله، جداگانه بلوک یزد و طبس است. این کمربند با امتداد شمالی-

مجدد یافته و مرمر، ب) آهک دولومیتی تبلور مجدد یافته کرم تا زرد رنگ و پ) آهک دولومیتی تبلور مجدد یافته است. حرکات زمین‌ساختی باعث شده است که این طبقات رسوبی از حالت افقی خارج و به صورت شیبدار به سمت شمال دیده شوند. پذیرفتاری مغناطیسی در کل واحد کربناته صفر است. واحد سرسیت‌شیست با مرز شارپ، هم‌راستا با واحدهای کربناته دگرگون شده در شمال و جنوب لایه سنگ آهک دولومیتی تبلور مجدد یافته با روند شرقی- غربی دیده می‌شود. در شمال و هم‌راستا با این واحد، باند بزرگ کانه‌زایی هماتیت رسوبی به طول 2500 متر قرار دارد (شکل ۲). مجموع سرسیت‌شیست و باند هماتیت دارای پذیرفتاری مغناطیسی صفر تا $SI \times 10^{-5}$ هستند.

واحد آتشفشنایی متاریولیت- متاریوداستی به‌طور عمده در بخش مرکزی و شرقی محدوده دیده می‌شود (شکل ۲). این واحد مهمترین لیتولوژی منطقه برای برداشت‌های مغناطیس‌سنگی زمینی است. این واحد در نقشه زمین‌شناسی قاسم‌آباد به عنوان ارتوگنیس با سن نئوپروتروزوئیک معرفی شده است (Sahandi et al., 2010). اما بررسی‌های این پژوهش نشان داد این واحد، یک گدازه ریولیتی تا ریوداستی است که تحت تأثیر دگرگونی ناحیه‌ای و دینامیکی قرار گرفته است. این واحد میزان اصلی کانه‌زایی مگنتیت- اسپکیولاریت آپاتیت‌دار است. بافت غالب در این سنگ‌ها پورفیری با زمینه بسیار دانه ریز است و درشت بلورهای فلدسپار آلکالی، پلازیوکلاز و کوارتز در یک زمینه از فلدسپار و کوارتز همراه با کانی‌های ثانویه دیده می‌شوند. زیرکن و مگنتیت مهمترین کانی‌های فرعی آن هستند. هاله آلتراسیونی کلریتی شدید و کربناتی در اطراف رگه‌های کانی‌سازی در این واحد آتشفشنایی دگرگون شده دیده می‌شود. پذیرفتاری این واحد در مناطق بدون کانی زایی بین صفر تا $SI \times 10^{-5}$ متغیر است.

واحد سینوگرانیت با رنگ روشن در شمال‌غرب محدوده قرار گرفته و دارای مرزهای گسله با واحد متاریولیت- متاریوداست است. بر اساس بررسی روستی و همکاران (Rossetti et al.,

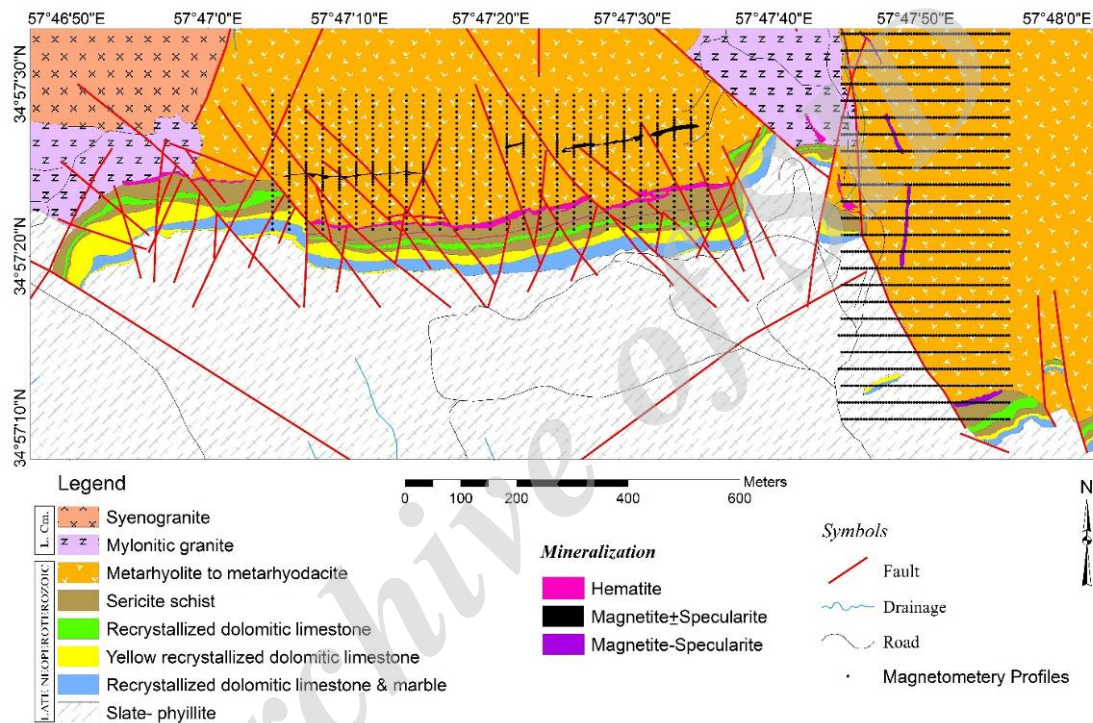
زون مهمترین ایالت فلزایی آهن ایران محسوب شود Daliran, 1990; Foster and Jafarzadeh, 1994; Daliran, 2002; Moore and Modabberi, 2003; Torab and Lehmann, 2007; Jami et al., 2007; Daliran et al., 2007; Daliran et al., 2009; Daliran et al., 2010; Bonyadiet al., 2011

در شمال‌شرقی زون زمین‌ساختی کاشمر- کرمان واحدهای سنگی از پرکامبرین تا نئوژن رخنمون دارند. اسلیت و میکاوشیست با سن پرکامبرین بالایی- کامبرین زیرین قدیمی‌ترین و گسترده‌ترین واحد سنگی این منطقه هستند که طی کوه‌زایی کاتانگایی دچار دگرگونی شده‌اند (Nozaem et al., 2013). توده‌های گرانیتی در سنگ‌های دگرگونی نفوذ کرده‌اند که بر اساس بررسی‌های سن‌سنجی انجام شده به روش U-Pb بر روی کانی زیرکن، سن آنها بین 535 تا 575 میلیون سال پیش مطابق با زمان نئوپروتروزوئیک پسین- کامبرین است (Rossetti et al., 2015). مجموعه سنگ‌های رسوبی پالئوزوئیک تا کرتاسه نیز گسترش قابل توجهی در منطقه دارند و شامل سنگ آهک، دولومیت، شیل و ماسه‌سنگ نئوژن کنگلومرا، سنگ‌های تبخیری، مارن قرمز و ماسه‌سنگ نئوژن جوانترین واحدهای سنگی منطقه هستند که به سمت شمال در زیر رسوبات کواترنری مدفون می‌شوند.

مجموعه آتشفشنایی- رسوبی دگرگون شده منطقه معدن ده‌زمان همگی متعلق به نئوپروتروزوئیک بالایی- کامبرین زیرین هستند که تحت تأثیر دگرگونی ناحیه‌ای درجه پایین و دگرشکلی حاصل از فعالیت‌های زیاد زمین‌ساختی قرار گرفته‌اند (Nozaem et al., 2014). قدیمی‌ترین واحد منطقه اسلیت و فیلیت‌های سیاه و خاکستری با میان لایه‌های کوارتزیت است که در جنوب منطقه گسترش دارند. وجود رگه‌چههای فراوان کوارتز شیری با ساخت بودیناژ در جهت شیستوزیته، ویژگی بارز این واحد است که تحت تأثیر دگرگونی ناحیه‌ای شکل گرفته‌اند. پذیرفتاری مغناطیسی این واحد بین صفر تا $SI \times 10^{-5}$ است. واحد کربناته دگرگون شده با روند شرقی- غربی به ترتیب از قدیم به جدید شامل: الف) آهک دولومیتی تبلور

زمین ساختی، گرانیت‌ها در حاشیه و در محل گسل‌ها دچار دگرگونی شدید دینامیکی و همچنین باعث تشکیل گرانیت‌های میلیونی شده‌اند. این حالت به طور عمده در غرب و شمال شرق منطقه دیده می‌شود (شکل ۲). پذیرفتاری مغناطیسی واحدهای گرانیتی در حد بسیار کم و نزدیک به صفر است.

2015 سن این توده نفوذی کامبرین زیرین است. بافت آن هپیدیومورف گرانولار بوده و کانی‌های اصلی آن شامل کوارتز، فلدسپار آلکالی، پلاژیوکلاز، بیوتیت و مسکوبیت است که در برخی قسمت‌ها مقدار کانی بیوتیت در آن افزایش می‌یابد. زیرکن و آپاتیت نیز مهمترین کانی‌های فرعی این واحد هستند. کانی‌سازی با این توده دیده نمی‌شود. بر اثر حرکات شدید



شکل ۲. نقشه زمین‌شناسی- کانی‌سازی کانسار ده‌زمان به همراه ایستگاه‌های برداشت مغناطیس‌سنگی زمینی

Fig. 2. Geology- Mineralization map of Dehzaman deposit with magnetometry stations

به صورت شرقی- غربی با شیب ۸۵ درجه به سمت شمال رخمنون دارد. طول رگه کانی‌سازی در قسمت مرکزی حداقل ۷۵۰ متر با عرض ۲ تا ۵ متر است که در قسمت‌های میانی به صورت منقطع است. وجود گسل‌های امتداد لغز راست گرد و چپ گرد بعد از کانی‌زایی در قسمت میانی باعث جابه‌جایی و نبود پیوستگی زون کانه‌دار در این قسمت شده است (شکل ۲). کانی‌سازی مگنتیت- اسپکیولاریت در قسمت شرقی دارای روند شمالی- جنوبی و شیب ۷۵ درجه به سمت شرق است. مقدار

کانی‌سازی و آلتراسیون

کانی‌سازی مگنتیت± اسپکیولاریت و مگنتیت- اسپکیولاریت در کانسار ده‌زمان در کل کنترل ساختاری داشته و به شکل رگه و رگه‌چه در زون‌های گسلی و سطوح درز و شکستگی واحد متاریولیت- متاریوپروتوزوئیک تشکیل شده است و فعالیت‌های زمین ساختی شدید منطقه باعث شده است تا جابه‌جایی‌های متعددی در آن صورت گیرد (شکل ۲). بخش کانی‌سازی مگنتیت± اسپکیولاریت در قسمت مرکزی محدوده

یک سانتی‌متر دیده می‌شوند (شکل ۳-D) و آثار دگرگونی ناحیه‌ای و دگرشکلی همانند مگنتیت در آنها وجود دارد. ریزبلورهای آپاتیت به شکل ادخال در داخل مگنتیت و اسپکیولاریت یا آزاد همراه با این دو کانی وجود دارد (شکل ۳-E). اندازه این کانی اغلب کمتر از ۳۰ میکرون است. مقدار آپاتیت در رگه‌های بخش شرقی بیشتر است. کم بودن کانی اولیه و ثانویه مس دار در محدوده نشان می‌دهد که مقدار مس در سیال کانه‌دار پایین بوده است (شکل ۳-F). شواهد کانی‌شناختی و ساخت و بافت این بخش از کانی‌سازی کانسار ده‌زمان شیوه به کانسارهای آهن نوع کایروناس است.

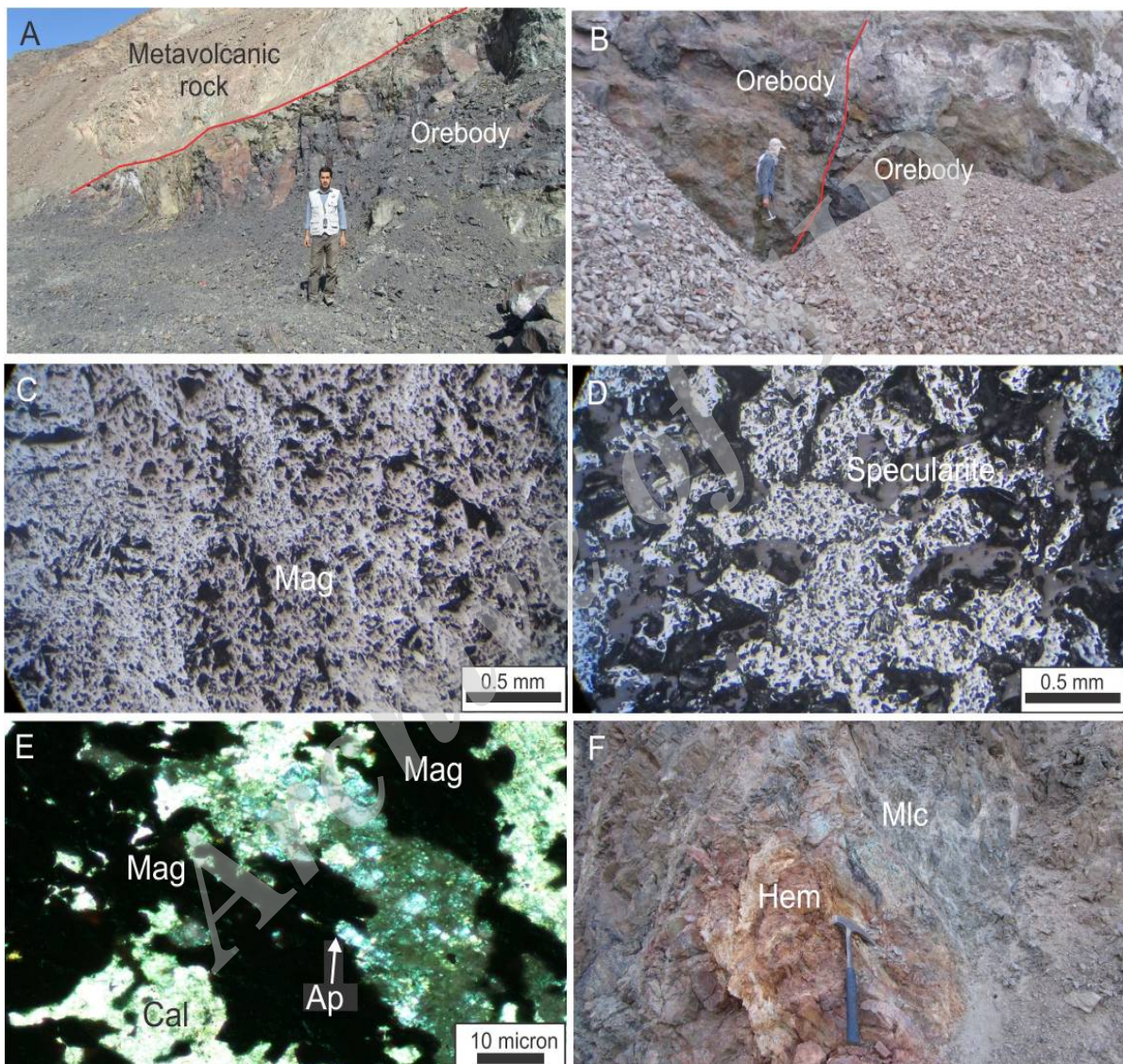
آلتراسیون در محدوده کانسار ده‌زمان غالباً محدود به بخش‌های کانه‌دار مگنتیت ± اسپکیولاریت و مگنتیت-اسپکیولاریت آپاتیت‌دار است و به انواع کلریتی، کربناتی، سیلیسی، بیوتیتی و تورمالینی قابل تقسیم است. کلریتی شدن مهمترین آلتراسیون همراه با کانه‌زایی مگنتیت در منطقه است. مقدار کلریت در اطراف رگه‌های اصلی کانی‌سازی به حدود ۳۰ درصد حجمی سنگ می‌رسد؛ اما با دور شدن از محل کانی‌سازی به کمتر از ۵ درصد کاهش می‌یابد. رنگ سبز تیره این کانی در اطراف رنگ سیاه رگه‌های مگنتیت-اسپکیولاریت یکی از ویژگی‌های شاخص این بخش از کانسار ده‌زمان است (شکل ۴-A). علاوه بر کلریت‌های توده‌ای در اطراف رگه‌ها، رگه‌چه‌های کلریت‌دار متعدد همراه با کانی‌های فلزی در واحد متاریولیت-متاریوداسیت نیز دیده می‌شود (شکل ۴-B). کلسیت دیگر کانی باطله مهم منطقه است که همراه با کلریت در اطراف رگه‌های کانه‌دار دیده می‌شود. در واحد آتشفسانی دگرگون شده نیز کلسیت به شکل جانشینی در پلاژیوکلاز، پراکنده در متن سنگ و رگه‌چه‌های کلسیت-مگنتیت، کلسیت-کوارتز-اسپکیولاریت و کلریت-کلسیت-مگنتیت حضور دارد. همچنین رگه‌چه‌های تأخیری از کلسیت، رگه‌چه‌های اولیه کانی‌سازی را قطع می‌کنند (شکل ۴-C). آلتراسیون سیلیسی به شکل کوارتز ثانویه به مقدار کمتر از ۱۰ درصد در رگه‌های اصلی وجود دارد. علاوه بر آن رگه‌چه‌هایی از کوارتز همراه با

اسپکیولاریت در رگه‌های شرقی به خصوص در قسمت میانی آن بیشتر است. کانی‌سازی در این بخش نیز به صورت منقطع رخنمون دارد که حداقل طول کانی‌سازی مشاهده شده در این قسمت حدود ۷۰۰ متر و عرض حدود ۳ تا ۵ متر است (شکل ۲). مرز گسله به صورت آینه گسل در بخش شرقی و هم بخش متاریولیت-متاریوداسیت هم در بخش شرقی و هم بخش مرکزی دیده می‌شود (شکل ۳-A). حرکات زمین‌ساختی تأخیری باعث شده مرز گسله توسط آنها قطع شود و همچنین باعث جابه‌جایی رگه کانی‌سازی در برخی نقاط شده‌اند (شکل ۳-B). همچنین آثار دگرشکلی به صورت بودین شدگی و تغییر ضخامت در رگه‌های کانه‌دار دیده می‌شود. علاوه بر رگه‌های اصلی، بافت رگه-رگه‌چه‌ای و افشار در اطراف رگه‌های اصلی مگنتیت ± اسپکیولاریت و مگنتیت-اسپکیولاریت و در سنگ میزبان آتشفسانی دیده می‌شود که با دور شدن از رگه‌ها، مقدار آن کاهش می‌یابد. ضخامت رگه‌ها اغلب از چند میلی‌متر تا حدود ۱۰ سانتی‌متر متغیر است. همچنین ساخت برشی نیز با قطعاتی از سنگ میزبان آلتره‌شده در داخل سیمانی از مگنتیت، اسپکیولاریت ± آپاتیت و کانی‌های باطله در زون‌های گسلی دیده می‌شود.

کانی‌شناسی کانسار بسیار ساده بوده و شامل مگنتیت و اسپکیولاریت با ریزبلورها یا ادخال‌های آپاتیت و به مقدار ناقیز کالکوپیریت است که با باطله‌های کلریت، کربنات، کوارتز، بیوتیت ± تورمالین همراهی می‌شود. همایت و به مقدار کمتر مالاکیت مهمترین کانی‌های ثانویه هستند. مگنتیت که مهمترین و فراوانترین کانه‌فلزی این بخش از کانی‌سازی است؛ اغلب به شکل بوده و در برخی موارد به صورت شکل دار در اندازه‌های ۱۰ میلی‌متر تا ۱۱ میلی‌متر نیز دیده می‌شود. این کانی به صورت بخشی و یا گاهی به طور کامل به همایت تبدیل شده است (شکل ۳-C). آثاری همچون دگرشکلی، بودین شدگی، سایه واتشی و دور زدن برگ وارگی در مگنتیت دیده می‌شود که نشان‌دهنده تشکیل کانی‌سازی قبل از وقوع دگرگونی ناحیه‌ای است. اسپکیولاریت‌ها به شکل‌های تیغه‌ای و صفحه‌ای تا اندازه

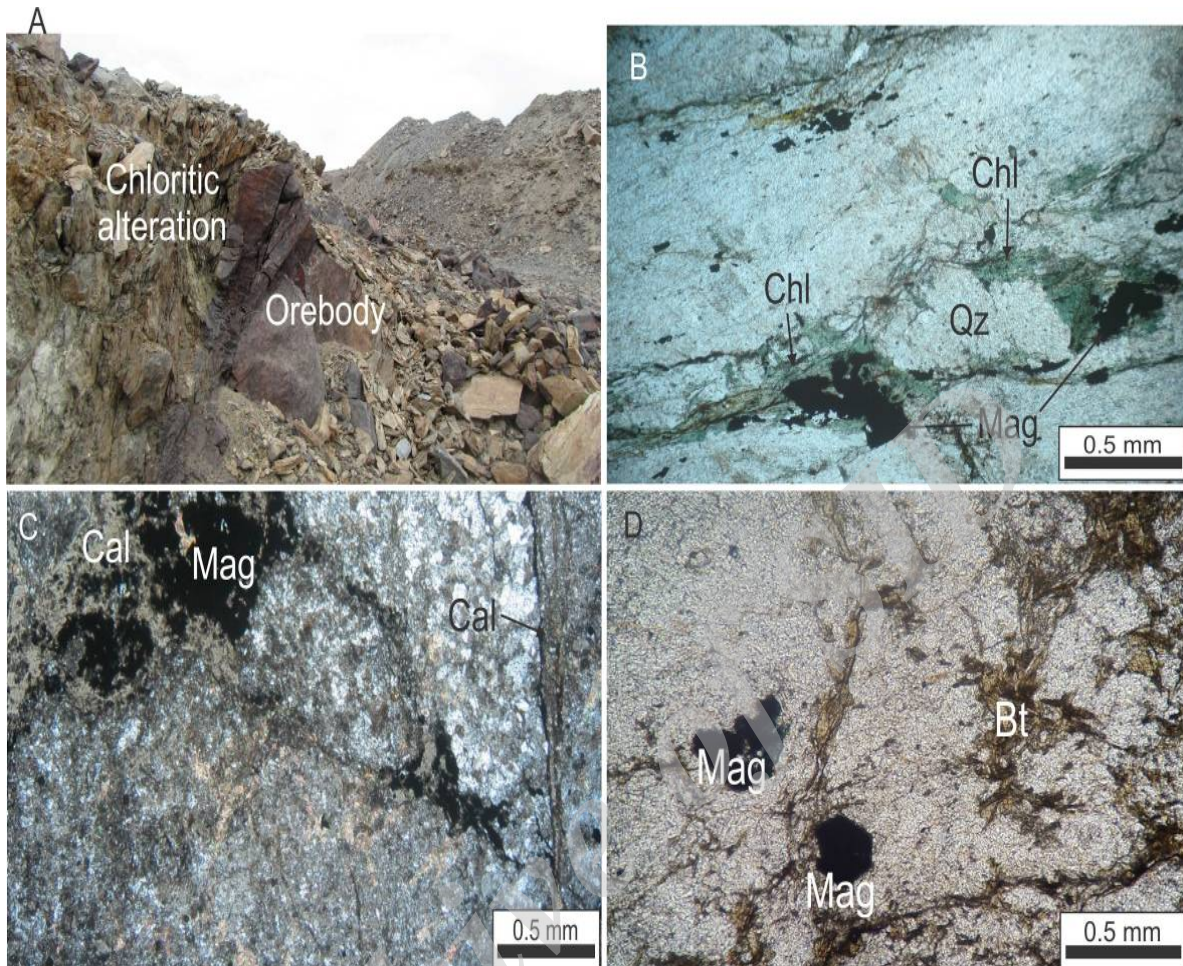
کمتر از ۵ درصد در واحد متاریولیت-متاریوداسیت دیده می‌شود (شکل ۴-۱). مقدار تورمالین کمتر از ۳ درصد است و در برخی رگه‌های مگنتیت و بیوتیت‌دار حضور دارد.

مگنتیت، اسپکیولاریت، کلریت، بیوتیت و تورمالین در سنگ آتشفسانی میزبان و در اطراف رگه‌ها دیده می‌شود (شکل ۴-۲). پولک‌های بیوتیت ثانویه اغلب به شکل رگه‌های و کمتر پراکنده همراه با مگنتیت، کلریت، کوارتز و تورمالین



شکل ۳. تصاویری از کانی‌سازی آهن آپاتیت‌دار دهzman، A: ماده معدنی و مرز گسلی آن با واحد سنگ آتشفسانی دگرگون شده میزبان، B: جابه‌جایی ماده معدنی توسط گسل‌های جوانتر بعد از کانی‌سازی، C: مگنتیت مارتیزی شده در نور PPL، D: دانه‌های تیغه‌ای تا صفحه‌ای اسپکیولاریت در نور XPL، E: آپاتیت ریزدانه همراه با مگنتیت و کلریت در نور XPL و F: ملاکیت و هماتیت در صحراء (Mag = Magnetite, Cal = Calcite, Ap = Apatite, Mlc = Malachite, Hem = Hematite (Whitney and Evans, 2010)).

Fig. 3. Images of Dehzaman apatite-bearing iron mineralization. A: Orebody and metavolcanic host rock with faulting contact, B: Displacement of orebody by younger post-mineralization fault, C: Martitized magnetite in PPL, D: Bladed to sheeted specularite in PPL, E: Fine-grained apatite associated with magnetite and calcite in XPL, and F: Malachite and hematite in field (Mag = magnetite, Cal = calcite, Ap = apatite, Mlc = malachite, Hem = hematite (Whitney and Evans, 2010)).



شکل ۴. تصاویری از آلتراسیون آهن آپاتیت‌دار ده‌زمان، A: ماده معدنی همراه با آلتراسیون کلریتی، B: رگه‌چه کلریت-کوارتز-مگنتیت در سنگ میزان در نور PPL، C: رگه‌چه کلسیت-مگنتیت و رگه‌چه کلسیت تأخیری در نور XPL و D: بیوئیت ثانویه و مگنتیت افshan در نور PPL (Mag = مگنتیت، Cal = کلسیت، Chl = کوارتن، Bt = بیوئیت (Whitney and Evans, 2010)).

Fig. 4. Images of Dehzaman apatite-bearing iron alteration. A: Orebody associated with chloritic alteration, B: Chlorite-quartz-magnetite veinlet within host rock in PPL, C: Calcite-magnetite veinlet and later calcite veinlet in XPL, and D: Secondary biotite and disseminated magnetite in PPL (Mag = magnetite, Cal = calcite, Qz = quartz, Chl = chlorite, Bt = biotite (Whitney and Evans, 2010)).

اسپکیولاریت در کانسنگ، میزان FeO و پذیرفتاری مغناطیسی نمونه کاهش یافته است (جدول ۱). به عبارتی همبستگی مثبتی بین مقدار مگنتیت، بالارفتن پذیرفتاری مغناطیسی و مقدار درصد FeO وجود دارد. بنابراین می‌توان انتظار داشت در طی برداشت مغناطیس‌سنجی زمینی از زون کانه‌دار، مناطق با میزان بالاتر اسپکیولاریت، دارای ناهنجاری پایین‌تر مغناطیسی باشند، مشروط بر این که مغناطیس باقی‌مانده وجود نداشته باشد.

ژئوشیمی

برای تعیین عیار آهن در کانسنگ این بخش از کانی‌سازی کانسار ده‌زمان، تعداد ۷ نمونه به روش شیمی‌تر تجزیه شدند. در این نمونه‌ها کل آهن از ۵۶ تا ۶۷ درصد در تغییر است که نشان‌دهنده خلوص بالای کانی‌سازی آهن در منطقه است. همچنین میزان FeO بین ۰/۲۹ تا ۰/۱۳ متفاوت است. تلفیق بررسی‌های کانی‌شناسی ۷ نمونه یادشده و اندازه‌گیری مقدار پذیرفتاری مغناطیسی آنها نشان می‌دهد که با افزایش مقدار کانی

جدول ۱. نتایج آنالیز شیمی تر زون کانی‌سازی مگنتیت± اسپکیولاریت و مگنتیت- اسپکیولاریت معده دهمان همراه با پذیرفتاری مغناطیسی

Table 1. Wet geochemistry analysis of magnetite±specularite and magnetite-specularite zones associated with magnetic susceptibility of Dehzaman Mine.

Sample	Fe(T)%	FeO%	Fe ₂ O ₃ %	Fe ₃ O ₄ %	Magnetic Susceptibility (*10 ⁻⁵ SI)
H2	66.09	5.70	75.39	18.36	13000
H5	67.21	8.55	67.50	27.54	15000
H14	67.28	20.13	29.02	64.85	200000
H15	66.22	19.63	29.18	63.24	105000
H38.1	66.99	9.55	63.84	30.77	21000
H42	56.14	1.72	74.44	5.54	1400
H45	59.96	0.29	84.66	0.93	90

Frietsch LREE نسبت به REE نیز در آنها دیده می‌شود (Frietsch and Perdahl, 1995)، مطابقت دارد.

مغناطیس سنجدی

ویژگی مغناطیس القایی سنگ با اندازه گیری مقدار پذیرفتاری مغناطیسی آن مشخص می‌شود. بدین منظور پذیرفتاری مغناطیسی تعداد ۱۰۰ نمونه کانسنگ و واحد متاریولیت تا متاریوداسیت سنگ میزان اندازه گیری شد. پذیرفتاری مغناطیسی نمونه‌های مختلف کانسنگ اکسید آهن آپاتیت‌دار اغلب از 5000×10^{-5} SI تا 2000×10^{-5} SI و سنگ میزان از صفر تا 10^{-5} متغیر است. در بعضی کانسنگ، افزایش میزان پذیرفتاری مغناطیسی با افزایش مقدار کانی مگنتیت رابطه مستقیم دارد. در برخی رگه‌های شرقی منطقه که مقدار اسپکیولاریت بیشتر است، پذیرفتاری مغناطیسی تا حد $10^{-5} \times 90$ کاهش یافته است. در چنین محیط‌هایی برداشت توأم گرانی سنجدی و مغناطیس سنجدی روش ایده‌آل است که هر دو ویژگی فیزیکی چگالی بالای اسپکیولاریت و پذیرفتاری بالای مگنتیت را شناسایی می‌کند. به علت محدودیت‌های دستگاهی، شکل رگه‌ای کانی‌سازی و هزینه‌های بالای گرانی سنجدی زمینی، در این بررسی فقط از روش مغناطیس سنجدی استفاده شده است. در هر حال، با توجه به اختلاف شدت پذیرفتاری مغناطیسی بین زون کانی‌سازی و سنگ میزان، روش مغناطیس سنجدی زمینی مناسب‌ترین روش

همچنین برای بررسی مقدار عناصر فرعی و نادر خاکی در کانه‌زایی مگنتیت و اسپکیولاریت آپاتیت‌دار، نمونه‌برداری خردمندی از رگه‌های اصلی انجام شد که نشان‌دهنده حضور مقادیر قابل توجهی از عناصر نادر خاکی است. مقدار کل عناصر نادر خاکی در نمونه‌ها از $10/44$ تا 4827 گرم در تن متغیر است. این میزان در همه نمونه‌ها (به جز دو نمونه H14.1 و H39) بالای 100 گرم در تن بوده و مقدار میانگین $761/67$ گرم در تن است. بالاترین میزان عناصر نادر خاکی سبک مربوط به نمونه H2 است؛ به طوری که میزان Ce و La در این نمونه به ترتیب تا 1232 و 2274 گرم در تن می‌رسد (جدول ۲). افزایش عناصر نادر خاکی با افزایش ریزبلورها یا ادخال‌های آپاتیت در کانسنگ اکسید آهن دهمان رابطه مستقیم دارد. در نمودار عنکبوتی عناصر نادر خاکی نرمالیزه شده نسبت به کندریت، غنی‌شدگی عناصر کمیاب سبک^۱ نسبت به عناصر نادر خاکی متوسط^۲ و سنگین^۳ تقریباً در همه نمونه‌ها دیده می‌شود (شکل ۵). مقدار La/Yb_N (La/Yb) بین $6/1$ تا $63/89$ در میانگین ناهنجاری منفی Eu در همه نمونه‌ها کم و بیش وجود دارد و میزان Eu/Eu^* بین $0/24$ تا $0/96$ در تغییر است (جدول ۲). مقدار عناصر نادر خاکی و الگوی نرمالیزه شده این عناصر در کانسنگ دهمان با بالابودن عناصر نادر خاکی در کانسنگ‌های اکسید آهن ذخایر کایرونما که معمولاً یک غنی‌شدگی مشخص

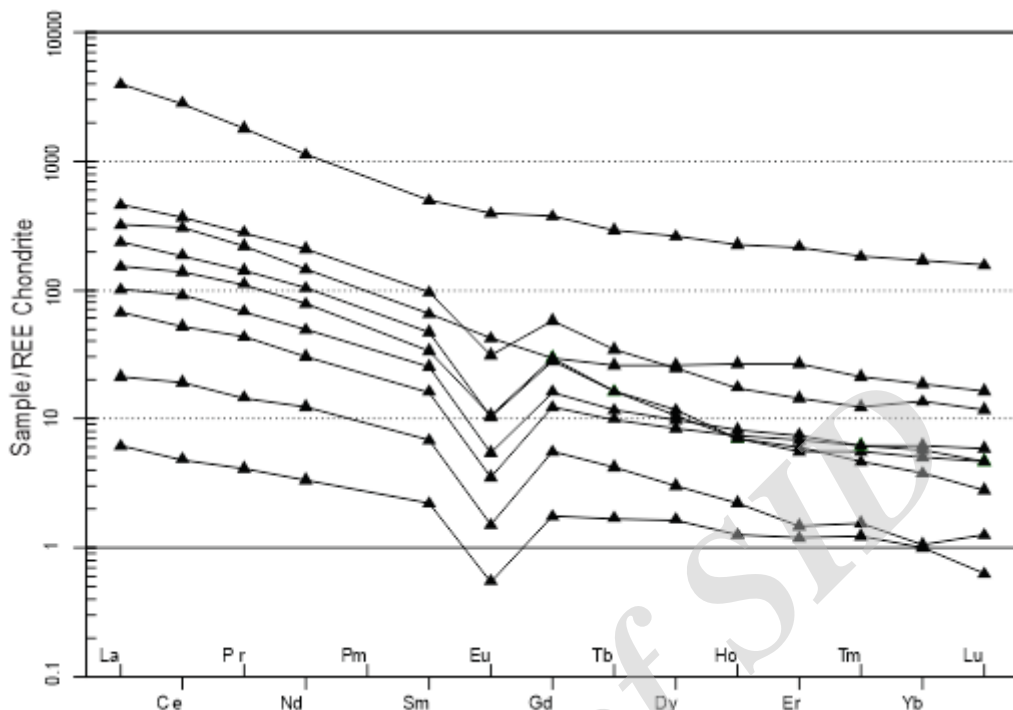
می‌گردد و قرائت تکراری انجام می‌شود. میزان تغییرات شدت میدان (تغییرات روزانه) محاسبه و در تصحیح روزانه اعمال شد. موقعیت نقاط برداشت روی خطوط مبنا و ابتدا و انتهای پروفیل‌ها به وسیله GPS ثبت شد. در منطقه مورد بررسی شمال جغرافیایی هم‌جهت با شمال مغناطیسی در نظر گرفته شده است. پس از انجام بررسی‌های دقیق زمین‌شناسی، آلتراسیون، کانی‌سازی و آنالیزهای ژئوشیمیایی، محل انجام عملیات مغناطیس سنجی تعیین شد.

مغناطیس سنج مورد استفاده در این برداشت از نوع Geometrics G856 با دقت ۰/۱ گاما ساخت کشور امریکا و متعلق به بخش زمین‌شناسی دانشگاه فردوسی مشهد است که دستگاهی قابل حمل برای برداشت‌های زمینی مغناطیس سنجی است. برای انجام تصحیحات روزانه میدان مغناطیسی، برداشت به روش Loop انجام شد. بدین صورت که برای انجام تصحیحات روزانه هر ۲ ساعت یک‌بار برای هر پروفیل به نقطه مبنا بر

جدول ۲. نتایج آنالیز ژئوشیمیایی به روش ICP-MS از کانسنگ اکسید آهن آپاتیت‌دار ده‌زمان (بر حسب گرم در تن)

Table 2. Geochemistry analysis results using ICP-MS method from Dehzaman apatite-bearing iron oxide orebody (ppm)

Name	H2	H14.1	H15	H38.1	H39	H42	H43	H45	A9
Ba	23	149	22	8	8	33	18	524	249
Co	2.5	26.7	24.2	29.2	45.7	3.7	4.0	2.1	2.1
Ga	2.8	42.6	53.0	48.1	56.9	28.3	0.9	26.4	32.2
Nb	1.4	0.9	2.1	2.2	0.8	4.4	1.8	7.6	20.3
Rb	0.9	0.3	0.1	0.9	0.7	4.1	2.8	1.7	1.6
Sn	34	13	12	9	8	14	188	74	97
Sr	17.7	54.6	17.5	22.6	7.2	30.6	19.1	72.4	30.2
Ta	<0.1	0.2	0.4	0.1	0.1	0.3	0.1	0.4	0.4
Th	6.0	0.8	4.4	8.5	0.8	5.1	2.4	7.4	5.0
U	3.2	2.0	0.2	2.8	0.3	2.2	2.3	1.8	1.3
V	112	611	684	637	694	746	38	411	462
W	35.6	5.1	2.4	9.3	1.0	4.4	29.5	24.0	53.8
Zr	6.7	3.3	2.5	7.0	19.4	33.3	17.7	11.2	5.7
Y	446.3	2.3	15.8	20.2	3.7	15.9	9.4	38.4	65.7
La	1232.5	1.9	72.9	31.1	6.6	20.8	99.5	141.8	47.3
Ce	2274.7	3.9	149.5	73.5	15.5	42.3	245.1	296.3	111.8
Pr	220.75	0.50	17.24	8.30	1.78	5.27	26.80	34.07	13.49
Nd	672.0	2.0	62.0	29.5	7.4	18.3	86.2	125.7	46.5
Sm	96.69	0.43	9.22	4.98	1.32	3.14	12.67	18.57	6.58
Eu	28.74	0.04	0.76	0.40	0.11	0.26	3.08	2.30	0.78
Gd	96.11	0.45	7.32	4.19	1.43	3.19	7.65	14.90	7.66
Tb	13.86	0.08	0.77	0.55	0.20	0.47	0.77	1.64	1.24
Dy	84.07	0.53	3.41	3.15	0.97	2.71	3.75	8.01	8.42
Ho	16.16	0.09	0.50	0.59	0.16	0.53	0.50	1.25	1.92
Er	45.25	0.25	1.25	1.57	0.31	1.43	1.16	3.03	5.64
Tm	5.89	0.04	0.15	0.20	0.05	0.20	0.18	0.40	0.69
Yb	35.48	0.21	0.79	1.18	0.22	1.30	1.05	2.83	3.91
Lu	5.01	0.02	0.09	0.15	0.04	0.19	0.15	0.38	0.53
ΣREE	4827	10.44	325.9	159.36	36.09	100.09	488.56	651.18	256.46
Ratio									
Eu/Eu*	0.91	0.28	0.28	0.27	0.24	0.25	0.96	0.42	0.34
(La/Yb) _N	23.42	6.1	62.21	17.77	20.23	10.79	63.89	33.78	8.16



شکل ۵. الگوی عناصر نادر خاکی نرمالیزه شده به کندریت در کانسنگ اکسید آهن آپاتیت‌دار ده‌زمان (مقادیر کندریت از باینتون (Boynton (1985))

Fig. 5. Chondrite-normalized REE pattern for the Dehzaman apatite-bearing iron oxide orebody. Chondrite values are from Boynton (1985).

مورد مجموعه داده‌های مغناطیسی نمی‌دهد، بلکه هر یک از آنها در تشخیص طرح‌های ناهنجاری مغناطیسی مزایای خاص خود را دارند و تفسیر آنها نیز متفاوت است (Gunn, 1996). بدین‌منظور در ادامه نقشه‌های انتقال به قطب، مشتق اول، سیگنانال تحلیلی و فراسو برای هر بخش به تفکیک ارائه می‌شود:

الف) بخش شرقی

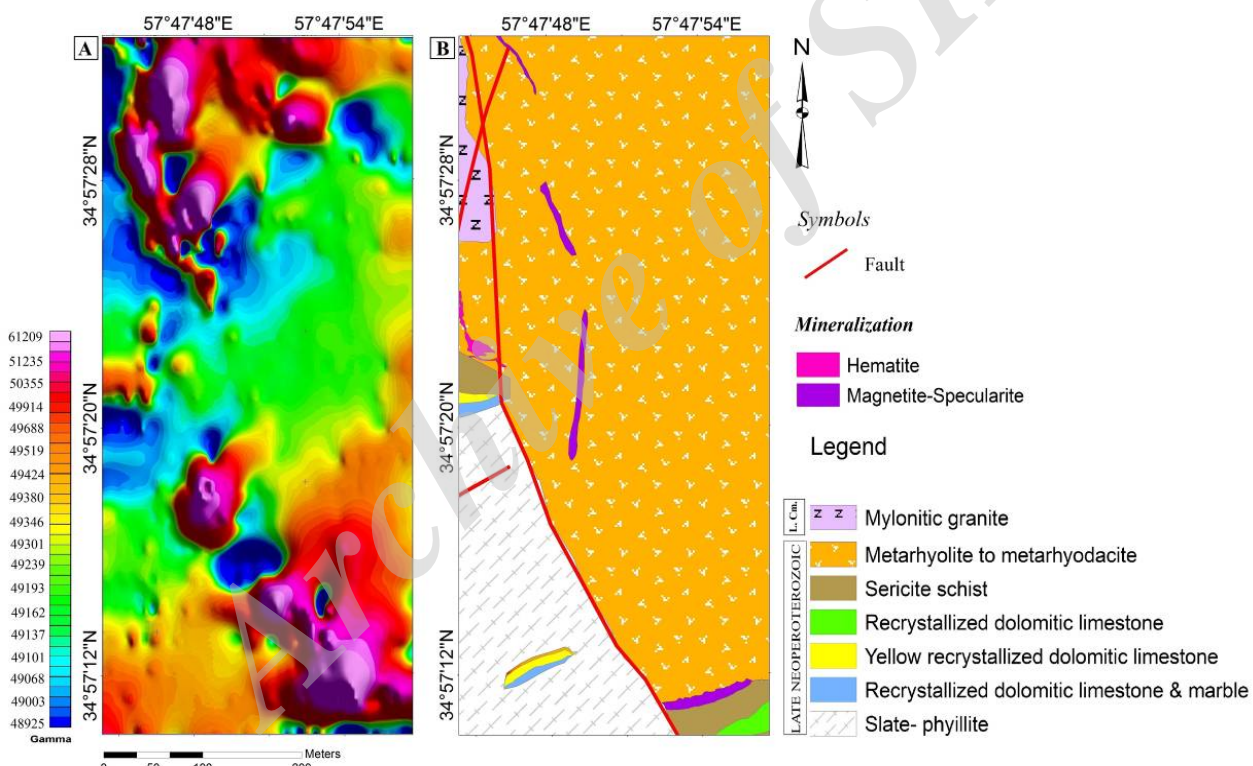
برداشت مغناطیس‌سنگی در بخش شرقی در ۱۴۶۸ ایستگاه و در ۲۴ پروفیل انجام شد (شکل ۲). طول هر پروفیل ۳۰۰ متر و فاصله هر پروفیل ۳۰ مترو با فاصله نقاط ۵ متر، با راستای شرقی- غربی و عمود بر کانی‌سازی انتخاب شد. محدوده تغییرات شدت کل میدان مغناطیسی از ۴۵۱۰ تا ۶۰۶۹۶ گاما، یعنی در حدود ۱۵۵۹۲ گاماست. بیشترین تغییرات شدت کل منطبق بر زون کانه‌زایی مگنتیت- اسپکیولاریت است. نقشه رنگی شدت کل میدان یک تجسم کلی از داده‌های مغناطیسی فراهم می‌کند و برای تفسیر کلی استفاده می‌شود (Urquhart, 2007).

اندازه‌گیری مغناطیس‌زمینی در منطقه ده زمان در دو بخش شرقی به مساحت برداشت 300×690 متر و بخش مرکزی به مساحت برداشت 240×780 متر انجام شد. میدان مغناطیسی IGRF اصلی زمین در منطقه مورد بررسی با استفاده از برنامه Thebault et al, ۴۸۷۳۶ گاما در نظر گرفته شد (2016). بنابراین مقادیر بالاتر و پایین‌تر از این مقدار ناهنجاری محسوب می‌شوند. همچنین زاویه میل و انحراف بر اساس سایت مرکز اطلاعات ژئوفیزیک NOAA به ترتیب $53/7$ و $3/97$ با در نظر گرفتن زمان برداشت و طول و عرض جغرافیایی منطقه به دست آمد. همچنین بر اساس اطلاعات رسمی در زمان برداشت مغناطیس‌سنگی، تغییرات اتمسفری مربوط به طوفان‌های مغناطیسی گزارش نشده بود (NOAA, 2016).

نقشه‌های مغناطیسی برای نمایش بعضی پدیده‌های ناهنجاری استفاده شده و معمولاً یک نقشه به تنها یی همه اطلاعات را در

غرب-جنوب شرق کترل کننده روند کانی‌سازی و ناهنجاری در این بخش است (شکل ۶). با توجه به برداشت‌های زمین‌شناسی، رگه مگنتیت-اسپکیولاریت در این بخش به صورت پیوسته است که البته در برخی مناطق بدون رخنمون سطحی است. با توجه به نقشه RTP، ناهنجاری‌های مغناطیسی برخش شرقی به صورت ناپیوسته بوده است و به دو قسمت شمالی و جنوبی تقسیم می‌شوند. ناپیوستگی در بخش مرکزی به دلیل وجود رگه با مقادیر بالاتر اسپکیولاریت است که عملاً پاسخ مغناطیسی بسیار ضعیفی دارد (شکل ۶).

آنچایی که میل و انحراف مغناطیسی باعث می‌شود ناهنجاری‌های مغناطیسی نسبت به منبع مولد خود انحراف داشته باشند، فیلتر RTP بر روی داده‌های مغناطیسی اعمال می‌شود (Clark, 1997). تفسیر اصلی از مجموعه داده‌های مغناطیسی بر روی داده‌های انتقال داده شده به قطب صورت می‌گیرد (Nakatsuka and Okuma, 2006). در نقشه RTP با اعمال زاویه میل و انحراف مربوط به منطقه مورد بررسی، نقشه مورد نظر نسبت به نقشه TMI کمی به سمت شمال منحرف شد که محل واقعی آنمالی را مشخص می‌کند. وجود گسل شمال



شکل ۶. A: تصویر RTP بخش شرقی و B: نقشه زمین‌شناسی- کانی‌سازی بخش شرقی در کانسار ده‌زمان

Fig. 6. A: RTP image of eastern part, and B: Geologic- Mineralization map of eastern part from Dehzaman deposit.

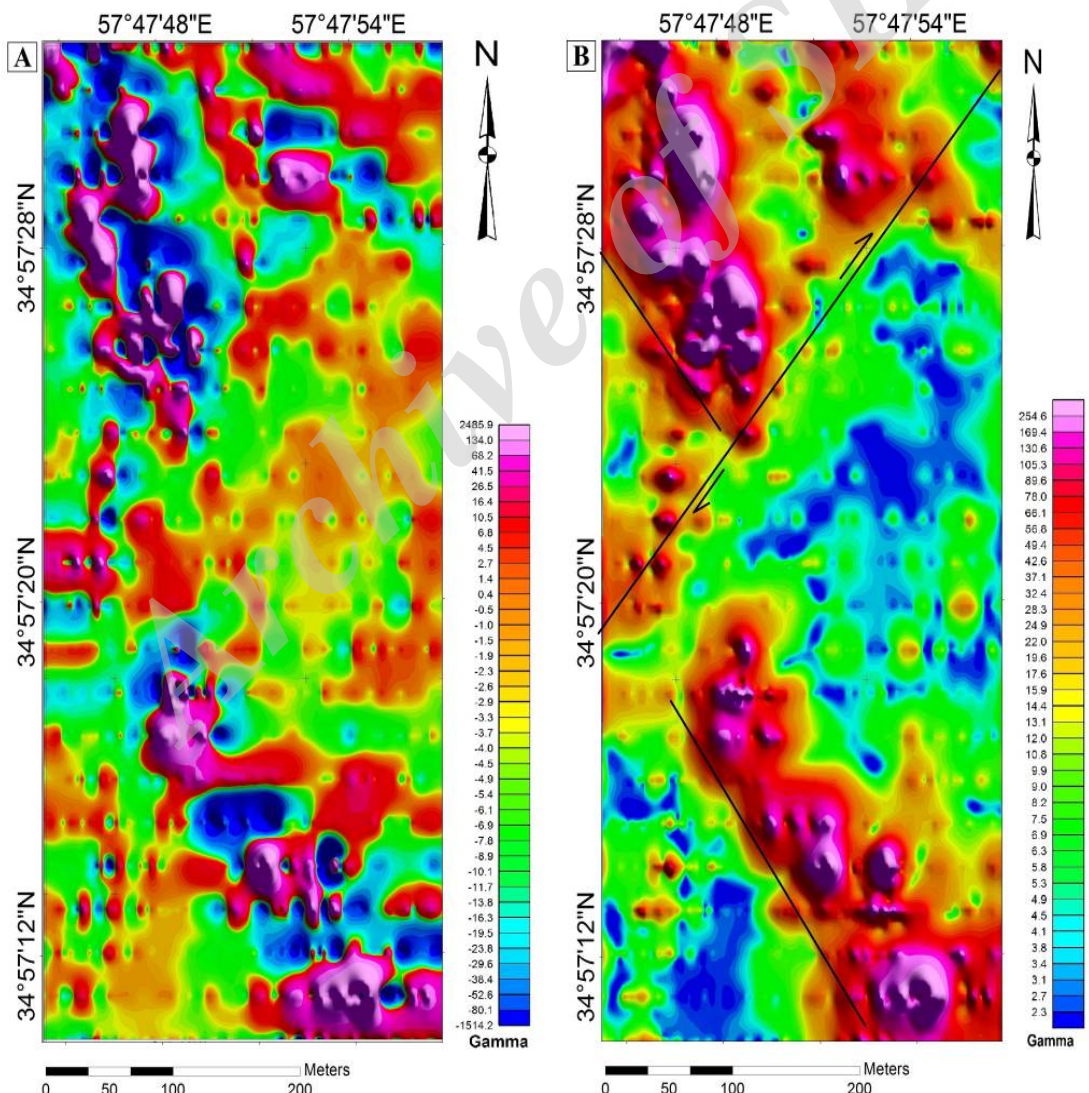
(Cooper and Cowan, 2004; Ford et al. 2006) توجه به نقشه مشتق اول قائم، یک روند شمال‌غربی-جنوب‌شرقی در منطقه شرقی دیده شود که نشان‌دهنده کم عمق بودن آنمالی در این منطقه و ارتباط آن با رگه‌های

برای بررسی منابع سطحی ایجاد کننده ناهنجاری دیده شده، از فیلتر گرادیان اول قائم استفاده شد. نقشه مشتق اول قائم (گرادیان عمودی) اثر ناهنجاری‌های عمیق با بسامد پایین را حذف کرده است و تأثیر منابع کم عمق با بسامد بالا را به نمایش در می‌آورد

این فیلتر به خوبی می‌توان مرز گسل‌های احتمالی را آشکارسازی کرد. چنان‌که در شکل ۷-B نیز دیده می‌شود، مرز کانی‌سازی با روند شمال‌غرب-جنوب‌شرق به طور واضح مشخص است. این مرز نشان‌دهنده گسل مسیب و کنترل کننده رگه‌های مگنتیت- اسپکیولاریت در بخش شرقی است. دومین گسل موجود در منطقه برداشت مغناطیسی دارای روند شمال‌شرق- جنوب‌غرب است. این گسل با سازوکار امتداد لغز راست‌گرد باعث جابه‌جایی زون مگنتیت- اسپکیولاریت شده و نقش محرب در منطقه ایفا کرده است (شکل ۷-B).

مگنتیت- اسپکیولاریت است که اندازه گیری پذیرفتاری مغناطیسی و رخمنونهای سطحی نیز آن را تأیید می‌کند. در برخی قسمت‌ها با توجه به نبود رخمنون سطحی کانی‌سازی مگنتیت- اسپکیولاریت، نقشه مشتق اول قائم ناهنجاری نشان می‌دهد که بیانگر وجود کانی‌سازی در عمق کم است (شکل ۷-A).

نقشه سیگنال تحلیلی مرز ناهنجاری مغناطیسی را مشخص تر نمایش می‌دهد. همچنین سیگنال تحلیلی توان بالایی در به نمایش در آوردن مؤلفه‌های خطی دارد. از این‌رو، با استفاده از



شکل ۷. A: نقشه مشتق اول و B: نقشه سیگنال تحلیلی بخش شرقی کانسار دهمان

Fig. 7. A: Vertical derivative map, and B: Analytical signal map of eastern part from Dezaman deposit

نشان دهنده وجود ناهنجاری با روند شرقی- غربی منطبق بر رگه اصلی کانه‌زایی است. در قسمت جنوبی پروفیل‌های برداشت به دلیل ورود به باند هماتیت رسوبی، سریست شیست و واحدهای کربناته، ناهنجاری مغناطیسی افت محسوسی نشان می‌دهد. نقشه انتقال به قطب نشان دهنده محل واقعی کانی‌سازی است و انطباق بسیار خوبی با محل واقعی رگه‌ها بر روی زمین دارد (شکل ۹). نقشه مشتق اول قائم، مطابق انتظار نشان دهنده وجود کانی‌سازی سطحی در محل رخمنون سطحی رگه‌های مگنتیت \pm اسپکیولاریت است. ناهنجاری سطحی بسیار ضعیف در قسمت جنوبی منطقه برداشت و هم راستا با ناهنجاری اصلی دیده می‌شود که مربوط به باند هماتیت رسوبی است. پذیرفتاری مغناطیسی این باند نسبت به سنگ‌های اطراف در حد $SI \times 10^{-5}$ بالاتر است (شکل ۱۰).

با توجه به مرز گسله رگه‌های مگنتیت \pm اسپکیولاریت در بخش مرکزی، استفاده از فیلتر سیگنال تحلیلی در این قسمت می‌تواند در بارزسازی مرزهای ناهنجاری به مقدار زیادی کمک کند. با استفاده از برداشت‌های صحرایی و تأیید آن در نقشه سیگنال تحلیلی، سه نسل گسل در منطقه برداشت مغناطیسی‌سنجدی در بخش مرکزی شناسایی شد. اولین گسل (F1) که نقش سازنده در کانی‌سازی دارد، دارای روند تقریباً شرقی- غربی است و قدیمی‌ترین گسل محسوب می‌شود. گسل F2 با روند شمال‌غرب- جنوب‌شرق با سازوکار امتداد لغز راست گرد از نظر زمانی دومین عملکرد را داشته و باعث جابه‌جایی کانه‌زایی از حالت خطی شده است. جابه‌جایی این گسل در روی زمین حدود ۴۰ تا ۵۰ متر است. گسل F3 با روند شمال‌شرق- جنوب‌غرب سومین مرحله زمین ساختی در این بخش است. میزان جابه‌جایی این گسل کمتر از گسل F2 و حدود ۵ تا ۱۰ متر است (شکل ۱۱). حرکات دو گسل F2 و F3 باعث جابه‌جایی و ایجاد یک زون بسیار برشی شده است.

برای بررسی گسترش عمقی کانی‌سازی در بخش مرکزی، نقشه‌های فراسو ۱۰ متر تا ۵۰ متر از منطقه تهیه شد (شکل ۱۲). در عمق ۱۰ متری ناهنجاری تقریباً مشابه سطح است و از همان

برای بررسی گسترش عمقی کانی‌سازی مگنتیت‌دار مسبب ناهنجاری مغناطیسی از فیلتر فراسو استفاده شد. نقشه ادامه به سمت بالا اثر ناهنجاری‌های سطحی با بسامد بالا را حذف و به این طریق اثر ناهنجاری‌های عمیق‌تر با بسامد کم را بهتر آشکار می‌سازد (Gunn et al. 1997). هرچه منبع مغناطیسی به سطح زمین نزدیکتر و منبع کوچکتر باشد، طول موج‌ها، کوتاه‌تر و بسامدها در واحد طول بیشتر خواهد بود و بر عکس (Tarlowski et al., 1997)

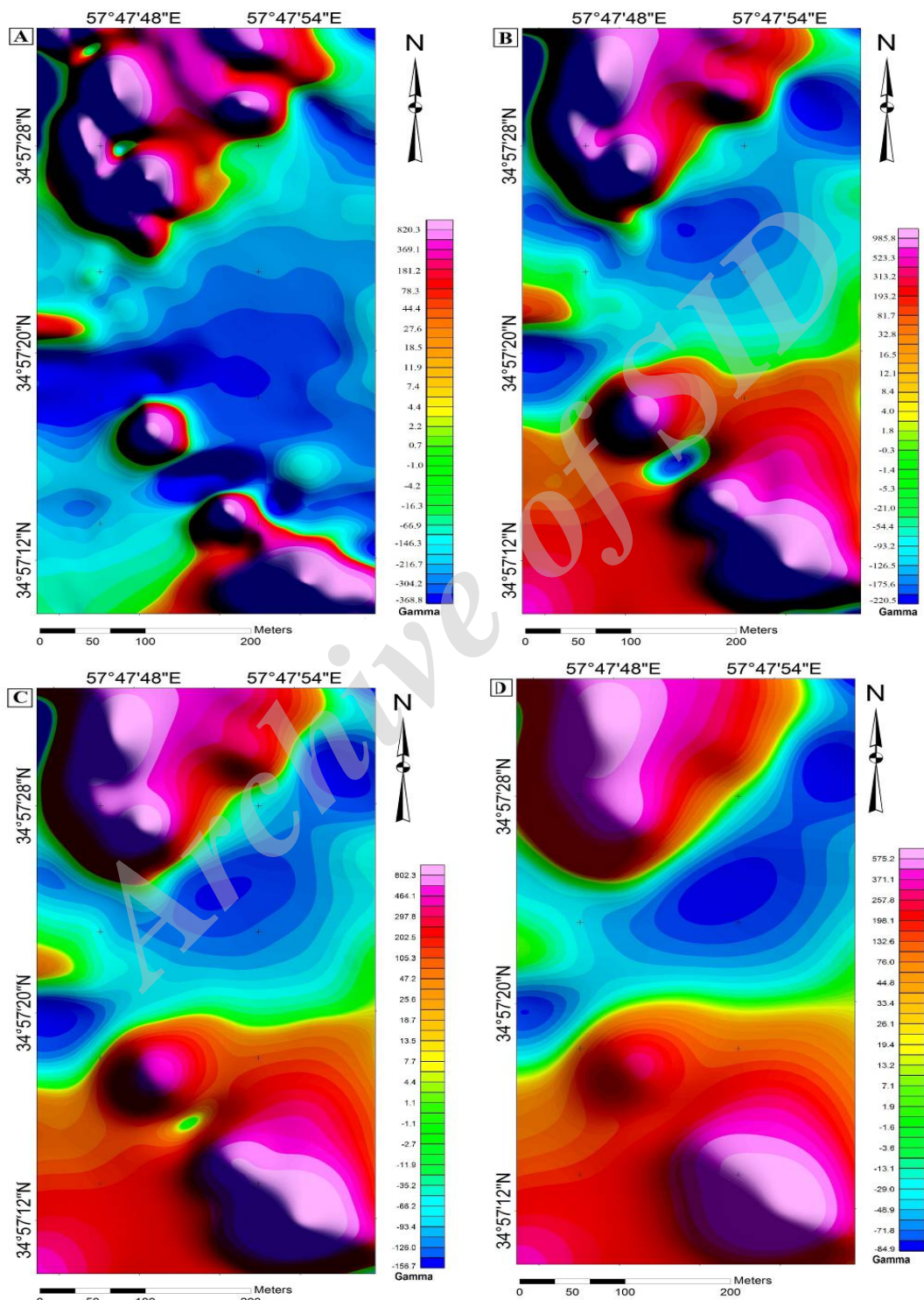
نقشه‌های ادامه فراسو با ارتفاع ۱۰، ۲۰، ۳۰ و ۵۰ متری از محدوده شرقی تهیه شد (شکل ۸- A، B، C و D). در نقشه‌های فراسو یک روند مشخص دیده می‌شود. بدین ترتیب که با افزایش ارتفاع ناهنجاری بخش شمالی و جنوبی به تدریج از حالت خطی بودن خارج می‌شود و گسترش عرضی بیشتری پیدا می‌کند. همچنین با افزایش عمق کانی‌سازی، فاصله بیشتری بین دو ناهنجاری شمالی و جنوبی ایجاد می‌شود که نشان از نبود کانی‌سازی عمقی مگنتیت در بخش میانی این زون است. آنچه که مسلم است کانی‌سازی تا عمق ۵۰ متر در شمال و جنوب هنوز ادامه دارد، همچنین در بخش شمالی و جنوبی گسترش قابل توجهی برای زون کانی‌سازی (تا بیش از ۲۰ متر) در عمق نسبت به رخمنون آن رگه‌ها در سطح دیده می‌شود (شکل ۸).

ب) بخش مرکزی

اندازه گیری شدت کل میدان مغناطیسی در ۷۵۵ ایستگاه و در ۲۷ پروفیل به طول میانگین ۲۴۵ متر و به فاصله ۳۰ متر از یکدیگر و با فاصله نقاط ۱۰ متر با راستای شمالی- جنوبی انجام شد (شکل ۲). محدوده تغییرات شدت کل میدان مغناطیسی در بخش مرکزی از ۵۳۱۴۹ تا ۴۴۱۶۸ گاما معنی ۸۹۸۱ گاما بوده است. با توجه به برداشت‌های صحرایی در این قسمت، رخمنون رگه‌های مگنتیت \pm اسپکیولاریت دارای روند شرقی- غربی است که البته در قسمت میانی به جهت حرکات زمین ساختی بدون پیوستگی است (شکل ۹- A و B). حرکت گسل جوان با سازوکار امتداد لغز راست گرد باعث جابه‌جایی رگه کانه‌زایی در قسمت میانی شده است. نقشه شدت کل میدان مغناطیسی در این بخش،

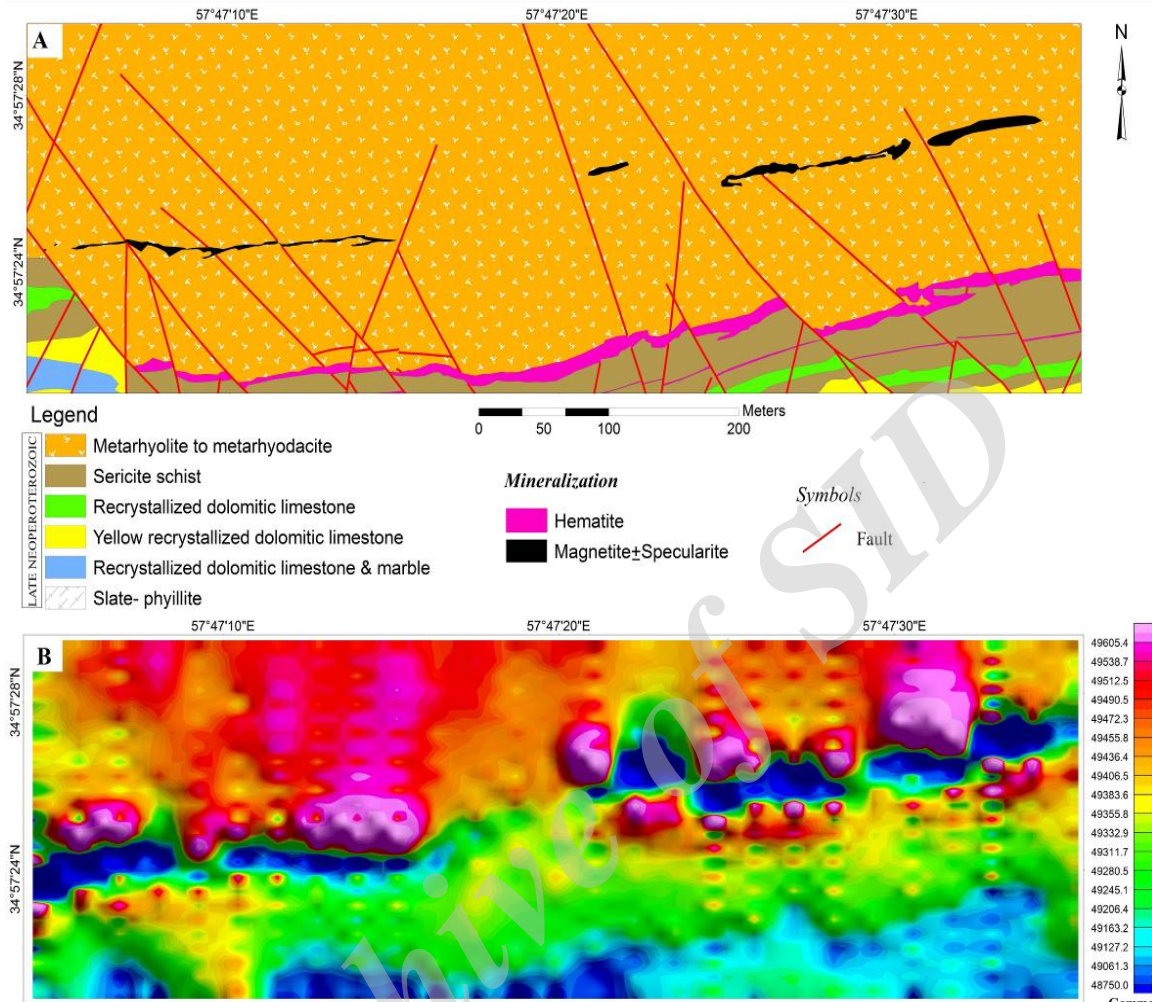
از حالت پیوسته خارج می‌شود.

رونده تقریباً شرقی- غربی پیروی می‌کند. در عمق ۲۰ متری به تدریج ناهنجاری قسمت غرب در حال کوچک شدن است و



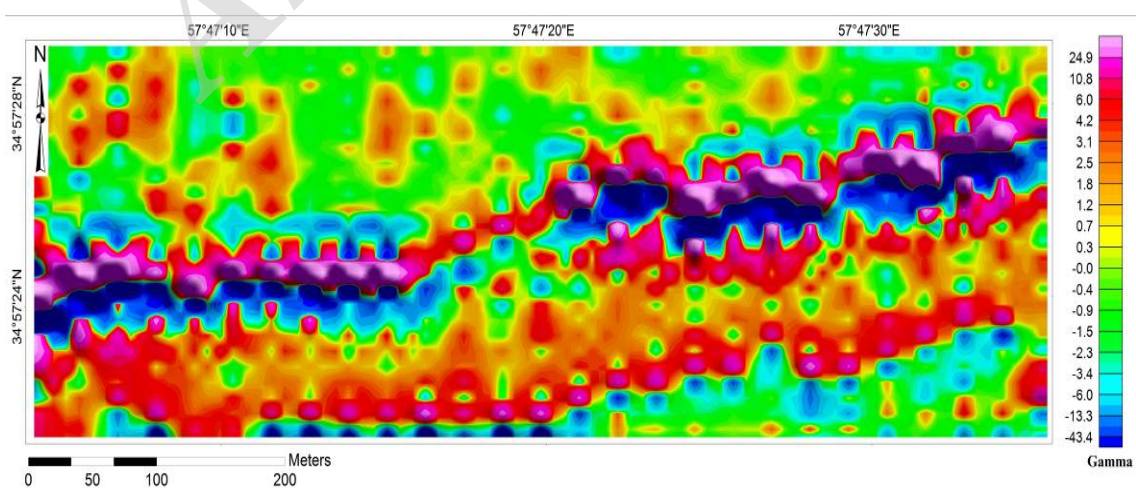
شکل ۸. تصاویر فراسو بخش شرقی کانسار ده‌زمان، A: ۱۰ متر، B: ۲۰ متر، C: ۳۰ متر و D: ۵۰ متر

Fig. 8. A:10 m, B: 20 m, C:30 m, and D: 50 m , Upward continued images of eastern part from Dehzaman deposit



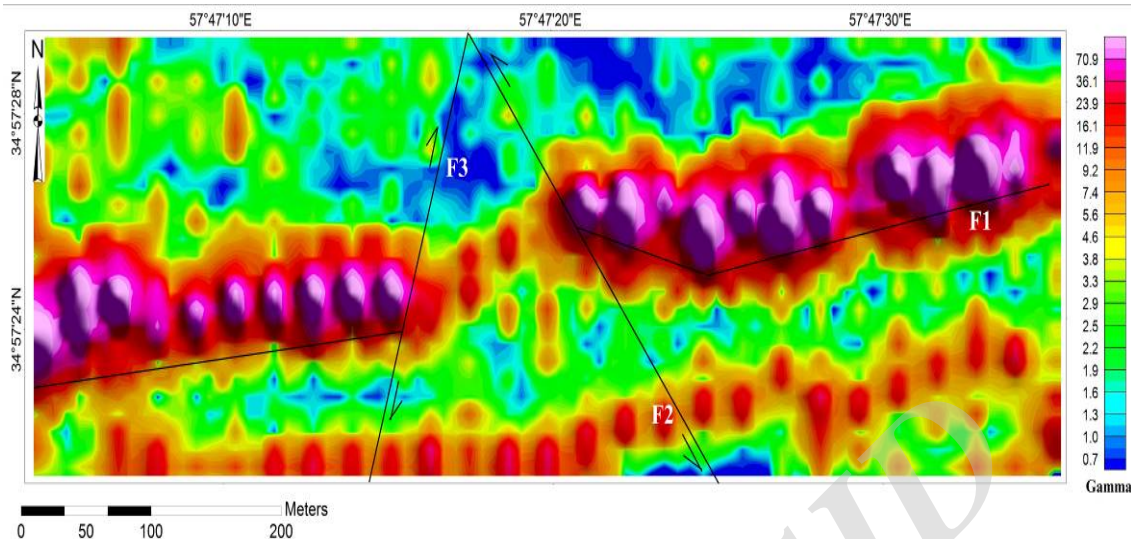
شکل ۹. A: نقشه زمین‌شناسی - کانی‌سازی بخش مرکزی و B: تصویر RTP بخش مرکزی در کانسار ده‌زمان

Fig. 9. A: Geologic- Mineralization map of central part, and B: RTP image of central part from Dehzaman deposit



شکل ۱۰. نقشه مشتق اول قائم در بخش مرکزی کانسار ده‌زمان

Fig. 10. Vertical derivative map of Central part from Dehzaman deposit



شکل ۱۱. نقشه سیگنال تحلیلی به همراه گسل‌های بخش مرکزی کانسار ده‌زمان

Fig. 11. Analytical signal map with faults of Central part from Dehzaman deposit

مرکز و شرق کانسار ده‌زمان نسبت به سنگ میزبان آتش‌نشانی، باعث شده است تا به کمک روش مغناطیس‌سنجدی و تلفیق آن با داده‌های زمین‌شناسی - کانی‌سازی و برداشت‌های صحرایی، بتوان نتایج مطلوبی از روند، گسترش و عمق این کانی‌سازی‌ها به دست آورد. علاوه بر آن با توجه به وجود مقادیر قابل توجه عناصر نادر خاکی (به‌دلیل همراهی با آپاتیت) در ذخایر کایرونا می‌توان اذعان داشت که روش مغناطیس‌سنجدی می‌تواند علاوه بر اکتشاف بخش‌های پنهان کانی‌سازی مگنتیت، روشی مناسب برای اکتشاف غیرمستقیم عناصر نادر خاکی باشد. همچنین نکته قابل چالش در کانسار ده‌زمان همراهی اسپکیولاریت و مگنتیت است. به‌دلیل پایین تر بودن پاسخ مغناطیسی اسپکیولاریت نسبت به مگنتیت، در بخش‌هایی که مقدار اسپکیولاریت در رگه‌ها افزایش یافته است (به‌ویژه بخش شرقی کانسار)، ناهنجاری مغناطیسی نیز از بین رفته است.

برداشت مغناطیس‌سنجدی زمینی در رگه‌های بخش شرقی نشان‌دهنده یک ناهنجاری تقریباً شمالی - جنوبی در نقشه RTP است. مقایسه بین رخمنون‌های سطحی رگه‌ها در بخش شرقی و نقشه RTP نشان‌دهنده ناهنجاری در بخش‌هایی است که بدون رخمنون سطحی نیز هست. بر عکس، در قسمت میانی با وجود

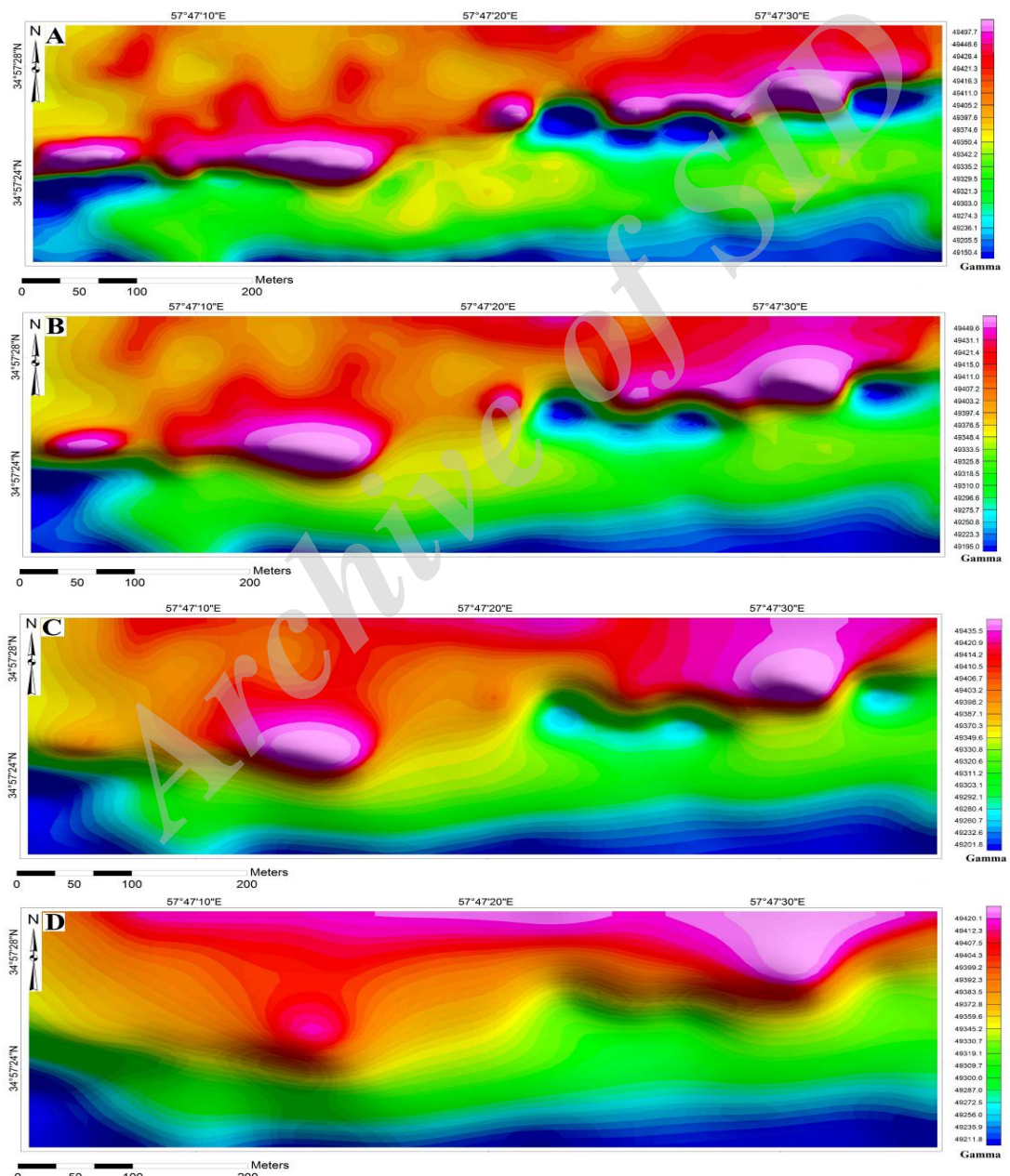
در عمق ۳۰ متری ناهنجاری کاملاً به قسمت غربی با گسترش کمتر و قسمت شرقی با گسترش بیشتر تقسیم می‌شود و در قسمت میانی کاملاً ناپیوسته است. با توجه به شبکه کانی‌سازی که به سمت شمال است، با افزایش عمق مقداری ناهنجاری به سمت شمال متمایل می‌شود. در عمق ۵۰ متری ناهنجاری قسمت غربی کاملاً از بین می‌رود و فقط ناهنجاری شرقی با عرض بیشتر دیده می‌شود (شکل ۱۲). با توجه به تصاویر فراسو می‌توان چنین نتیجه گرفت که رگه مگنتیت ± اسپکیولاریت در بخش شرقی عمیق‌تر بوده است و با افزایش عمق به تدریج عرض زون کانه‌دار بیشتر می‌شود. با توجه به همایی کانی‌سازی با گسل (F1)، به نظر می‌رسد که گسل یادشده نیز در شرق عمیق‌تر از قسمت غرب باشد. با توجه به کم عمق بودن کانی‌سازی و گسل در قسمت میانی و غربی، جابه‌جایی‌های گسل‌های F2 و F3 توانسته است باعث ایجاد زون خرد و جابه‌جایی رگه مگنتیت ± اسپکیولاریت در این بخش شود (شکل ۱۲).

نتیجه‌گیری

بالابودن مقدار پذیرفتاری مغناطیسی رگه‌های مگنتیت ± اسپکیولاریت و مگنتیت - اسپکیولاریت آپاتیت‌دار به ترتیب در

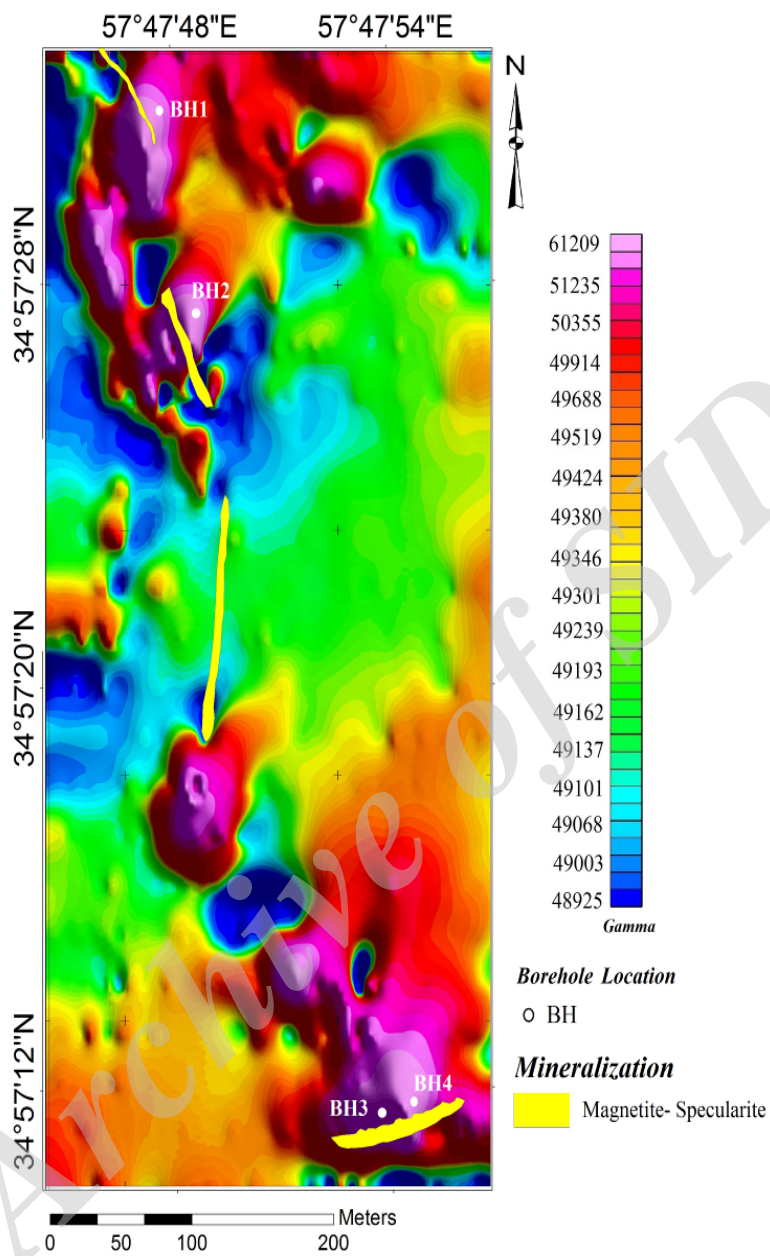
رگه‌ها به سمت شرق (با استثنای رگه جنوبی که امتداد شرقی- غربی دارد و دارای شیب به سمت شمال است)،^۴ نقطه حفاری در ناهنجاری‌های مغناطیسی شمالی و جنوبی بخش شرقی کانسار ده‌زمان در کمر بالای رگه‌ها (شکل ۱۳) به عمق حداقل ۱۲۰ متر و زاویه قائم تا ۸۰ درجه پیشنهاد می‌شود (جدول ۳).

رگه کانی‌سازی، ناهنجاری دیده نمی‌شود که به دلیل افزایش میزان اسپکتولاریت است. عرض کانی‌سازی در شمال و جنوب بخش شرقی به بیش از ۲۰ متر می‌رسد. نقشه‌های فراسو نشان‌دهنده گسترش عمقی کانی‌سازی تا عمق بیش از ۵۰ متر در قسمت شمال و جنوب این بخش است (شکل A-۱۲، B، C و D). با توجه به اطلاعات به دست آمده از مغناطیس‌سنگی و شیب



شکل ۱۲. تصاویر فراسو بخش مرکزی کانسار ده‌زمان، A: ۱۰ متر، B: ۲۰ متر، C: ۳۰ متر و D: ۵۰ متر

Fig. 12. A: 10 m, B: 20 m, C: 30 m, and D: 50 m, Upward images of central part from Dehzaman deposit



شکل ۱۳. تصویر RTP بخش شرقی کانسار دهzman همراه با موقعیت رگه‌ها و گمانه‌های پیشنهادی

Fig. 13. RTP image of eastern part of Dehzaman deposit associated with veins and offered boreholes location

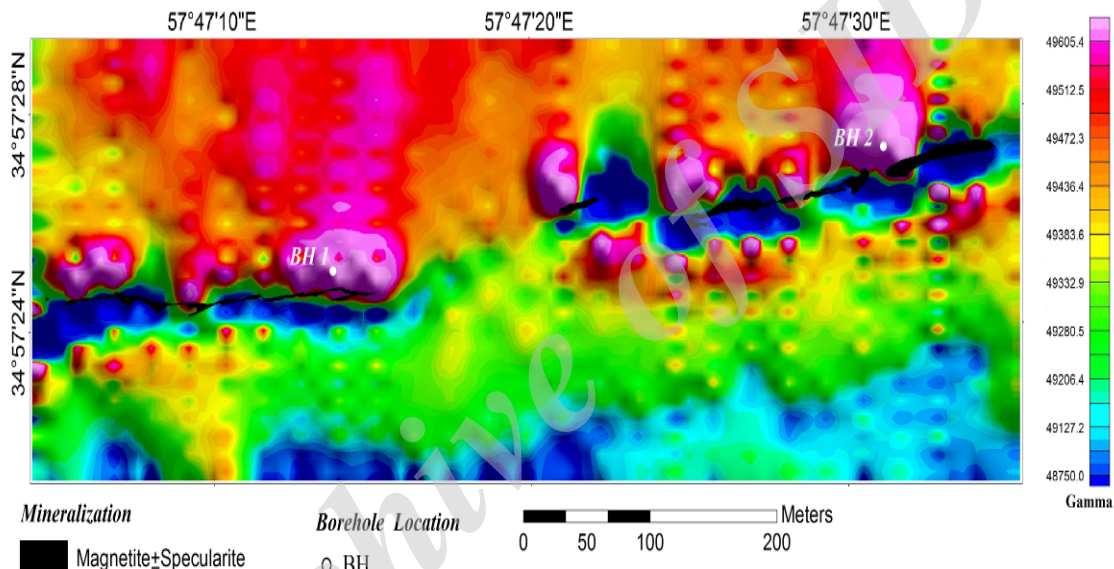
جدول ۳. مشخصات نقاط حفاری پیشنهادی در شرق کانسار دهzman

Table 3. Characteristics of offered boreholes in eastern part of Dehzaman deposit

Borehole No.	Lat.	Lon.	Depth (m)	Azimuth	Dip
BH 1	34° 57' 31.3"	57° 47' 47.6"	100	N 220	80°
BH 2	34° 57' 27.3"	57° 47' 48.3"	100	N 220	80°
BH 3	34° 57' 11.4"	57° 47' 53.4"	120	N 180	90°
BH 4	34° 57' 11.8"	57° 47' 54.5"	120	N 180	85°

میانی بخش مرکزی به دلیل حرکت دو گسل راست گرد و چپ گرد بوده که پس از کانه‌زایی سبب جابه‌جایی زون کانه‌دار شده است. با توجه به اطلاعات بدست آمده از مغناطیس سنگی و شبیه رگه‌ها به سمت شمال، ۲ نقطه حفاری در ناهنجاری‌های مغناطیسی شرقی و غربی بخش مرکزی کانسار ده‌زمان در کمر بالای رگه‌ها (شکل ۱۴) به عمق حداقل ۱۰۰ متر و با زوایه قائم تا ۸۰ درجه پیشنهاد می‌شود (جدول ۴).

ناهنجاری‌های مغناطیسی در بخش مرکزی کانسار ده‌زمان به دلیل بالاتر بودن مقدار مگنتیت در رگه‌ها، انطباق بهتری با رخمنون‌های سطحی نشان می‌دهد. ناهنجاری در این بخش به صورت شرقی-غربی است و عرض ناهنجاری از ۲۵ متر تجاوز نمی‌کند. نقشه‌های فاسوییانگر گسترش عمقی کانی‌سازی تا عمق بیش از ۵۰ متر و نیز گسترش عرضی در قسمت شرق این زون است. ناپوستگی ناهنجاری در قسمت



شکل ۱۴. تصویر RTP بخش مرکزی کانسار ده‌زمان همراه با موقعیت رگه‌ها و گمانه‌های پیشنهادی

Fig. 14. RTP image of central part of Dehzaman deposit associated with veins and offered boreholes location

جدول ۴. مشخصات نقاط حفاری پیشنهادی در مرکز کانسار ده‌زمان

Table 4. Characteristics of offered boreholes in central part of Dehzaman deposit

Borehole No.	Lat.	Lon.	Depth (m)	Azimuth	Dip
BH 1	34° 57' 13.1"	57° 47' 13.5"	80	N 180	90°
BH 2	34° 27' 27.1"	57° 47' 31.4"	100	N 200	80°

بهویژه آقایان مهندس نقی پور و مالکی به عنوان همکاری‌های لازم سپاس گزاریم.

قدرتانی

این پژوهه با حمایت مالی دانشگاه فردوسی مشهد در ارتباط با طرح پژوهشی شماره ۳۶۹۷۲/۳ مورخ ۱۳۹۳/۱۲/۱۴ انجام شده است. از مدیر عامل و کارکنان محترم شرکت اپال کانی پارس

References

- Bonyadi, Z., Davidson, G.J., Mehrabi B., Meffre S. and Ghazban, F., 2011. Significance of apatite REE depletion and monazite inclusions in the brecciated Se-Chahun iron oxide–apatite deposit, Bafq district, Iran, insights from paragenesis and geochemistry. *Chemical Geology*, 281(2011):253–269.
- Boynton, W.V., 1985. Cosmo chemistry of the rare earth elements, Meteorite studies. In: P., Henderson (Editor), Rare Earth Element Geochemistry, (Developments in Geochemistry 2). Elsevier, Amsterdam, pp. 115-1522.
- Clark, D.A., 1997. Magnetic petrophysics and magnetic petrology: aids to geological interpretation of magnetic surveys. *AGSO Journal of Australian Geology and Geophysics*, 17(2): 83-103.
- Cooper, G.R.J. and Cowan, D.R., 2004. Filtering using variable order vertical derivatives. *Computers and Geosciences*, 30(5): 455-459.
- Daliran, F., 1990. The magnetite-apatite deposit of Mishdovan, East Central Iran, An alkali rhyolite hosted, 'Kiruna type' occurrence in the Infracambrian Bafg Metallotectonic (Mineralogic, Petro-graphic and geochemical study of the ores and the host rocks). Unpublished Ph.D. thesis, University of Karlsruhe, Karlsruhe, Germany, 248 pp.
- Daliran, F., 2002. Kiruna type iron oxide-apatite ores and apatites of the Bafq district, Iran, with an emphasis on the REE geochemistry of the their apatites. In: T.M. Porter (Editor), Hydrothermal iron oxide copper gold and related deposits: a global perspective. PGC Publishing, Adelaide, pp. 303-320.
- Daliran, F., Stosch, H.G. and Williams, P., 2007. Multistage metasomatism and mineralization at hydrothermal Fe oxide-REE-apatite deposits and apatites of the Bafq District, Central-East Iran. In: C.J. Andrew, et al. (Editors), Digging deeper, Proceeding of the 9th Biennial SGA Meeting, Dublin, pp. 1501-1504.
- Daliran, F., Stosch, H.G. and Williams, P., 2009. A review of the early Cambrian magmatic and metasomatic events and their bearing on the genesis of the Fe oxide-REE-apatite deposits (IOA) of the Bafq District, Iran. In: P.E. Williams's (Editor), Smart science for exploration and mining, Proceedings of the 10th Biennial of the Society for Geology Applied to Mineral Deposits, Townsville, Qld, Australia, pp. 623-625.
- Daliran, F., Stosch, H.G. and Williams, P., 2010. Lower Cambrian iron oxide–apatite-REE (U) deposits of the Bafq district, east- Central Iran. In: L. Corriveau, and H. Mumin, (Editors), Exploring for iron-oxide copper-gold deposits: Canada and global analogues. Published in partnership by Mineral Deposits Division, Geological Association of Canada and Geological Survey of Canada, short course notes, 20, Québec, pp. 143-155.
- Ford, K., Kating, P. and Thomas, M.D., 2007. Overview of geophysical signature associated with Canadian ore deposits. Geological Survey of Canada, Geological Association of Canada, Mineral Deposits Division, Special Publication 5. pp. 939–970.
- Foster, H. and Jafarzadeh, A., 1994. The Bafq mining district in Central Iran- a highly mineralized Infracambrian volcanic field. *Economic Geology*, 89(8): 1697-1721.
- Frietsch, R. and Perdahl, J.A., 1995. Rare earth elements in apatite and magnetite in Kiruna-type iron ores and some other iron ore types. *Ore Geology Reviews*, 9(6): 489–510.
- Gunn, P.J., 1996. Workshop Interpretation of aeromagnetic data. *Journal of Australian Geology and Geophysics*, 17(2): 105-113.
- Gunn, P.J., Madment, D. and Milligan, P.R., 1997. Interpreting aeromagnetic data in areas of limited outcrop. *Journal of Australia Geology and Geophysics*, 17(2):175-185.
- Hajimirzajan, H., Malekzadeh Shafaroudi, A., Hidarian Shahri, M.R. and Homam, S.M., 2017 a. Modeling of magnetite- specularite mineralization in Dehzaman iron deposit, Khorasan Razavi province: mineralogy, texture and structure, and alteration. *Iranian Journal of Crystallography and Mineralogy*, 25(3): 543-556. (in Persian)
- Hajimirzajan, H., Malekzadeh Shafaroudi, A., Hidarian Shahri, M.R. and Homam, S.M., 2017b. Geochemistry and genesis of apatite-bearing magnetite-specularite ore body in Dehzaman iron deposit, Northeastern Kashmar-Kerman tectonic zone. *Journal of Advanced Applied Geology*, in print.
- Imanpour, B., Karimpour, M.H. and Malekzadeh Shafaroudi, A., 2017. Mineralization and geochemistry of Dehzaman hematite ore deposit (southwest of Bardaskan) and

- comparison with banded iron formation deposits. *Iranian Journal of Crystallography and Mineralogy*, 4(24): 675-690. (in Persian)
- Thebault, E., Finlay, C., Beggan C.D., Patrick, A., Aubert, J. and Barrois, O., 2015. Earth, Planets and Space, 67:79. Retrieved June 27, 2016, From <http://wdc.kugi.kyoto-u.ac.jp/igrf/point>
- NOAA (National Oceanic and Atmospheric Administration), 2016. Retrieved September 27, 2001, From <https://www.ngdc.noaa.gov/geomag-web/>
- Jami, M., Dunlop, A.C. and Cohen, D.R., 2007. Fluid inclusion and stabele isotope study of the Esfordi apatite-magnetite deposite, Central Iran. *Economic Geology*, 102(6): 1111-1128.
- Moore, F. and Modabberi, S., 2003. Origin of choghart iron oxide deposit, Bafq mining district, central Iran: new isotopic and geochemical evidence. *Journal of Sciences, Islamic Republic of Iran*, 14(3): 259-269.
- Nakatsuka, T. and Okuma, S., 2006. Reduction of magnetic anomaly observations from helicopter surveys at varying elevations. *Exploration Geophysics*, 37(1): 121-128.
- Nozaem, R., Mohajjel, M., Rossetti, F., Della Seta, M., Vignaroli, G., Yassaghi, A., Salvini, S. and Eliassi, M., 2013. Post-Neogene right-lateral strike-slip tectonics at the north-western edge of the Lut Block (Kuh-e-Sarhangi Fault), Central Iran. *Tectonophysics*, 589: 220–233.
- Nozaem, R., Mohajjel, M., Yasaghi, A. and Nasrabadi, M., 2014. Structural analysis and determination of deformation under Kuh-e-sarhangi shear zone in the granite of the mountain, northwest Lut Block. *Iranian Journal of Crystallography and Mineralogy*, 22(1): 15-26. (in Persian)
- Ramezani, J. and Tucker, R., 2003. The saghand region, central Iran: U-Pb geochronology, pertrogenesis and implication for gondwana tectonics. *American journal of science*, 303(7): 622-665.
- Rossetti, F., Nozaem, R., Lucci, F., Vignaroli, G., Gerdes, A., Nasrabadi, M. and Theye, T., 2015. Tectonic setting and geochronology of the Cadomian magmatism in Central Iran, Kuh-e- Sarhangi region (NW Lut Block. *Journal of Asian Earth Sciences*, 102(2015): 24-44.
- Sahandi, M.R., Ghasemi, M.R. and Ekhtiarabadi, A., 2010. Geological map of Ghasemabad, Scale 1:100,000. Geological Survey of Iran.
- Tarlowski, C., Gunn, P.J. and Mackey, T., 1997. Enhancements of the magnetic map of Australia. *Journal of Australia Geology and Geophysics*, 17(2): 77-82.
- Torab, F.M. and Lehmann, B., 2007. Magnetite-apatite deposits of the Bafq district, Central Iran: apatite geochemistry and monazite geochronology. *Mineralogical Magazine*, 71(3): 347–363.
- Urquhart, W.E.S., 2007. Airborne magnetic data compilation and interpretation. *Geophysical Airborne Survey Compilation and Interpretation*, http://www.geoexplo.com/airborne_survey_eworkshop.html
- Whitney, D.L. and Evans, B.W., 2010. Abbreviations for names of rock-forming minerals. *American Mineralogist*, 95(1): 185–187.